

# 4

## વિદ્યુતપ્રવાહની ચુંબકીય અસરો

### 4.1 પ્રસ્તાવના (Introduction)

વિદ્યુત અને ચુંબકત્વની શાખાઓ લગભગ 2000 વર્ષથી જાણીતી છે. 1819માં ડેનીશ ભૌતિકવિજ્ઞાની ઓર્સ્ટેડે કરેલા અવલોકન તથા રાઉલેન્ડ ફેરેડે, મેક્સવેલ અને હૉરેન્ડ્રૂ જેવા વિજ્ઞાનીઓએ ભૌતિકવિજ્ઞાનના વિકાસમાં આપેલા ફાળાને લીધે પ્રારંભમાં સ્વતંત્ર રીતે વિકસેલી વિદ્યુત અને ચુંબકત્વની શાખાઓ આજે એક બની ગઈ છે.

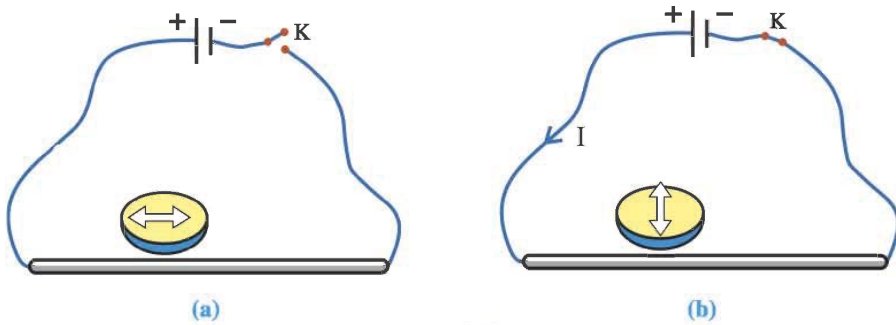
વિદ્યુત અને ચુંબકત્વ પરથી મળેલા પ્રાયોગિક નિયમોને ગણિતના માળખામાં સાંકળવામાં આવ્યા, ત્યારે એક નવી વિચારધારા ઊભી થઈ અને બંને શાખાઓ વચ્ચે મૂળભૂત ઐક્ય સધાયું અને પ્રકાશનું સ્વરૂપ સમજી શકાયું. વિદ્યુતચુંબકીય વિકિરણનું ‘ઉત્પાદન’ અને ‘પ્રસરણ’ શક્ય બન્યા, જેના પરિણામસ્વરૂપે સંદેશા વ્યવહારમાં ક્રાંતિ આવી.

વિદ્યુત અને ચુંબકત્વના સર્વગ્રાહી અભ્યાસને આવરી લેતી ભૌતિકવિજ્ઞાનની આ શાખાને **ઇલેક્ટ્રોડાયનેમિક્સ** કહે છે. પ્લાઝ્મા ભૌતિકવિજ્ઞાન, મેગ્નેટોહાઇડ્રોડાયનેમિક્સ અને સંદેશાવ્યવહારની આધુનિક ટેકનોલોજીમાં ઇલેક્ટ્રોડાયનેમિક્સનું ઘણું મહત્ત્વ છે.

પ્રસ્તુત પ્રકરણમાં આપણે વિદ્યુતપ્રવાહને લીધે ઉદ્ભવતું ચુંબકીય ક્ષેત્ર, ચુંબકીય ક્ષેત્રમાં ગતિ કરતા વિદ્યુતભાર પર લાગતું બળ, વિદ્યુતપ્રવાહધારિત તારને ચુંબકીય ક્ષેત્રમાં મૂકતાં તેના પર લાગતું બળ, સાઈકલોટ્રોન, ગેલ્વેનોમીટર વગેરેનો અભ્યાસ કરીશું.

### 4.2 ઓર્સ્ટેડનું અવલોકન (Oersted's Observation)

વિદ્યુત અને ચુંબકત્વના અભ્યાસની વિકાસ-પ્રક્રિયા સાથે કેટલાંક પ્રાયોગિક અવલોકનો સંકળાયેલાં છે. આમાંનું એક પ્રાયોગિક અવલોકન ડેનિશ ભૌતિકવિજ્ઞાની ઓર્સ્ટેડે (Hans Christian Oersted 1771-1851) ઈ. સ. 1819માં કર્યું હતું. તે ડેન્માર્કની શાળાનો વિજ્ઞાનશિક્ષક હતો.



આકૃતિ 4.1 ઓર્સ્ટેડનું અવલોકન

આકૃતિ 4.1(a)માં દર્શાવ્યા પ્રમાણે ચુંબકીય સોયને સમાંતર સોયની નીચે વાહક તાર રહે તેમ ગોઠવો. હવે આકૃતિ 4.1(a)માં દર્શાવેલ વિદ્યુતપરિપથને પૂર્ણ કરતાં વાહક તારમાંથી વિદ્યુતપ્રવાહ પસાર થાય છે, ત્યારે ચુંબકીય સોય કોણાવર્તન અનુભવી વાહક તારને લંબરૂપે ગોઠવાય છે (જુઓ આકૃતિ 4.1(b)).

વિદ્યુતપ્રવાહની ચુંબકીય અસરો

આમ, આ પ્રયોગના અવલોકનમાં ઓર્સ્ટેડે નોંધ્યું કે જ્યારે વાહક તારમાંથી વિદ્યુતપ્રવાહ પસાર થાય છે ત્યારે તેની આસપાસ ચુંબકીય ક્ષેત્ર ઉત્પન્ન થાય છે.

ઓર્સ્ટેડના આ સંશોધનને એરગો નામના વૈજ્ઞાનિકે ઈ. સ. 1820ની 11 સપ્ટેમ્બરે ફ્રેન્ચ એકેડેમી સમક્ષ રજૂ કર્યું હતું.

#### 4.3 બાયો-સાવરનો નિયમ (Biot-Savart's Law)

પેરિસમાં ઓર્સ્ટેડના ઉપર્યુક્ત સંશોધનના સમાચાર જાણ્યા બાદ માત્ર બે માસના ટૂંકા સમયગાળામાં બાયો અને સાવર નામના બે વિજ્ઞાનીઓએ પ્રાયોગિક પરિણામોના વિશ્લેષણના આધારે વિદ્યુતપ્રવાહ-ખંડને લીધે મળતા ચુંબકીય ક્ષેત્ર અંગેનો નિયમ સૂત્રના સ્વરૂપમાં નીચે મુજબ રજૂ કર્યો :

“ $I d\vec{l}$  જેટલા વિદ્યુતપ્રવાહ-ખંડને લીધે, ખંડની સાપેક્ષે  $\vec{r}$  સ્થાનસદિશ ધરાવતા બિંદુએ ચુંબકીય ક્ષેત્ર

$$d\vec{B} = \frac{\mu_0}{4\pi} = \frac{I d\vec{l} \times \vec{r}}{r^2} \text{ સૂત્ર વડે આપવામાં આવે છે.} \quad (4.3.1)$$

અત્રે  $I d\vec{l}$  = વિદ્યુતપ્રવાહ-ખંડ. એટલે કે વાહકની સૂક્ષ્મ સદિશ-લંબાઈ  $d\vec{l}$  અને તેમાંથી પસાર થતા વિદ્યુતપ્રવાહ  $I$ નો ગુણાકાર

$$\begin{aligned} \mu_0 &= \text{શૂન્યાવકાશની પરમીએબિલિટી} \\ &= 4\pi \times 10^{-7} \text{ tesla meter ampere}^{-1} (\text{TmA}^{-1}) \end{aligned}$$

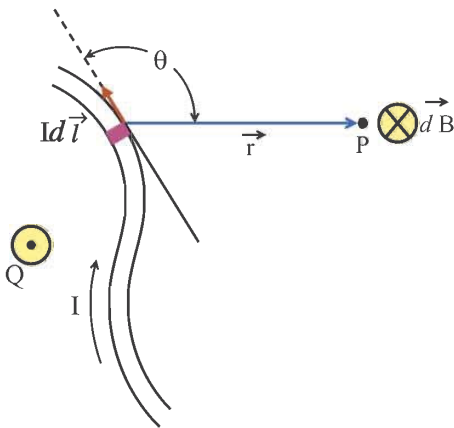
$$\vec{r} = \frac{\vec{r}}{|\vec{r}|} \text{ વિદ્યુતપ્રવાહ-ખંડથી બિંદુ તરફ જતી દિશામાંનો એકમસદિશ. સમીકરણ (4.3.1)ને સદિશ } \vec{r} \text{ ના}$$

સ્વરૂપમાં નીચે પ્રમાણે લખી શકાય.

$$d\vec{B} = \frac{\mu_0}{4\pi} \frac{I d\vec{l} \times \vec{r}}{r^3} \quad (4.3.2)$$

$$\text{સમીકરણ (4.3.1) પરથી } |d\vec{B}| = \frac{\mu_0}{4\pi} \frac{I dl \sin\theta}{r^2} \quad (4.3.3)$$

જ્યાં  $\theta$  એ  $d\vec{l}$  અને  $\vec{r}$  વચ્ચેનો ખૂણો છે.



આકૃતિ 4.2 બાયો-સાવરનો નિયમ

**સમજૂતિ :** આકૃતિ 4.2માં દર્શાવ્યા પ્રમાણે  $I$  વિદ્યુતપ્રવાહ ધરાવતા કોઈ યાદચ્છિક આકાર ધરાવતા વાહક તારને ધ્યાનમાં લો. આ વિદ્યુતપ્રવાહધારિત તારના કારણે ધારો કે કોઈ બિંદુ  $P$  પાસે ઉદ્ભવતું ક્ષેત્ર શોધવું છે.

આ વાહક તારને  $dl_1, dl_2, \dots, dl_n$  જેટલી સૂક્ષ્મ લંબાઈ ધરાવતા ખંડોના બનેલા કલ્પો. અત્રે આ ખંડોની લંબાઈ એટલી સૂક્ષ્મ છે કે દરેક ખંડને પ્રવાહની દિશામાં સુરેખ ગણી શકાય. આવો એક સુરેખ ખંડ  $d\vec{l}$  આકૃતિ 4.2માં દર્શાવેલ છે.  $I d\vec{l}$  પ્રવાહ-ખંડની સાપેક્ષે બિંદુ  $P$ નો સ્થાનસદિશ  $\vec{r}$  પણ આકૃતિમાં દર્શાવ્યો છે. આ પ્રવાહ-ખંડને લીધે બિંદુ  $P$  પાસે ચુંબકીય ક્ષેત્ર  $d\vec{B}$  સમીકરણ (4.3.1)નો

ઉપયોગ કરીને ગણી શકાય.  $d\vec{B}$ ની દિશા,  $d\vec{l}$  અને  $\vec{r}$ ના સદિશ ગુણાકાર રૂપે,  $d\vec{l}$  અને  $\vec{r}$ થી બનતા સમતલને લંબરૂપે જમણા હાથના સ્ક્રૂના નિયમ મુજબની હોય છે. આકૃતિ 4.2માં  $d\vec{l}$  અને  $\vec{r}$  પુસ્તકના પાનમાં લીધા હોવાથી

$\vec{dB}$ ની દિશા પુસ્તકના પાનને લંબરૂપે P બિંદુએ અંદર જતી દિશામાં છે. જે સંજ્ઞા  $\otimes$  વડે દર્શાવી છે. (આકૃતિમાં Q બિંદુએ ચુંબકીય ક્ષેત્ર પુસ્તકના પાનને લંબરૂપે નિરિક્ષક તરફની દિશામાં છે. એને  $\odot$  સંજ્ઞા વડે દર્શાવાય છે.)

જો બિંદુ P પાસે સમગ્ર તારને લીધે ઉદ્ભવતું ચુંબકીય ક્ષેત્ર શોધવું હોય તો, જુદા-જુદા પ્રવાહ-ખંડો વડે ઉદ્ભવતાં ક્ષેત્રો સમીકરણ (4.3.1) પ્રમાણે મેળવી તેમનો સદિશ સરવાળો કરવો જોઈએ.

સૂક્ષ્મ ખંડો સતત રીતે પથરાયેલા હોવાથી તેનો સદિશ સરવાળો નીચે દર્શાવેલા રેખા-સંકલનના સ્વરૂપમાં લખી શકાય છે.

$$\vec{B} = \int d\vec{B} = \frac{\mu_0 I}{4\pi} \int \frac{d\vec{l} \times \vec{r}}{r^2} \quad (4.3.4)$$

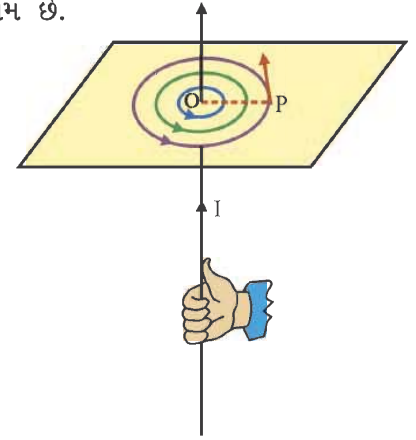
અથવા

$$\vec{B} = \frac{\mu_0 I}{4\pi} \int \frac{d\vec{l} \times \vec{r}}{r^3} \quad (4.3.4a)$$

અહીં રેખાસંકલન તારથી બનતા સમગ્ર પરિપથ પર છે. અત્રે નીંધો કે બાયો-સાવરનો નિયમ પણ કુલંબના નિયમ અને ન્યૂટનના ગુરુત્વાકર્ષણના સાર્વત્રિક નિયમની જેમ જ વ્યસત વર્ગનો નિયમ છે.

બૈજિક ગણતરીઓ માટે વિદ્યુતપ્રવાહધારિત તાર સાદા આકારનો પરિપથ રચતો હોય ત્યારે બાયો-સાવરના નિયમનો ઉપયોગ કરવાનું સહેલું બને છે.

અત્રે એક વાત તો સ્પષ્ટ જ છે કે કોઈ સમતલને લંબરૂપે રાખેલ સુરેખ વાહક તારમાંથી વિદ્યુતપ્રવાહ પસાર કરતાં આ સમતલમાં તારથી સમાન લંબ અંતરે આવેલાં બિંદુઓએ ચુંબકીય પ્રેરણ સમાન હશે. એટલે કે આકૃતિ 4.3માં દર્શાવ્યા પ્રમાણે તારથી OP ત્રિજ્યાના વર્તુળ પરના દરેક બિંદુએ ચુંબકીય પ્રેરણનું મૂલ્ય સમાન હશે તથા તેની દિશા વર્તુળને દોરેલા સ્પર્શકની દિશામાં હશે. આ દિશા શોધવા માટે જમણા હાથના અંગૂઠાનો નિયમ નીચે મુજબ છે :

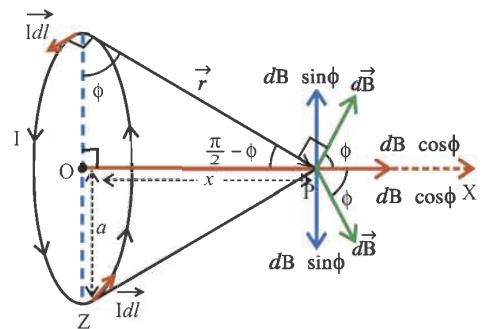


આકૃતિ 4.3  
જમણા હાથનો અંગૂઠાનો નિયમ

તારને જમણા હાથમાં એવી રીતે પકડીએ કે અંગૂઠો વિદ્યુતપ્રવાહની દિશામાં રહે અને આંગળીઓ તાર પર વીંટળાય, તો તે આંગળીઓ ચુંબકીય ક્ષેત્રરેખાઓની દિશા દર્શાવે છે તથા ચુંબકીય પ્રેરણની દિશા આપેલા બિંદુએ ક્ષેત્રરેખાને દોરેલા સ્પર્શકની દિશામાં હોય છે. (જુઓ આકૃતિ 4.3)

#### 4.4 વિદ્યુતપ્રવાહધારિત વર્તુળાકાર રિંગની અક્ષ પરના બિંદુએ ચુંબકીય ક્ષેત્રની તીવ્રતા

ધારો કે આકૃતિ 4.4માં દર્શાવ્યા પ્રમાણે પાતળા તારમાંથી બનાવેલી વર્તુળાકાર રિંગની ત્રિજ્યા  $a$  છે તથા તેમાંથી  $I$  જેટલો વિદ્યુતપ્રવાહ પસાર થાય છે. રિંગની અક્ષ X-અક્ષ સાથે સંપાત થાય છે. આકૃતિમાં દર્શાવ્યા મુજબ ધારો કે P બિંદુ રિંગના કેન્દ્રથી તેની અક્ષ ઉપર  $x$  જેટલા અંતરે આપેલ છે તથા  $I d\vec{l}$  પ્રવાહખંડની સાપેક્ષે તેનો સ્થાનસદિશ  $\vec{r}$  છે.  $I d\vec{l}$  પ્રવાહ ખંડને લીધે P બિંદુ પાસે ઉદ્ભવતા ચુંબકીય ક્ષેત્રની તીવ્રતા  $d\vec{B}$  છે તથા તેની દિશા આકૃતિમાં



દર્શાવ્યા મુજબ  $d\vec{l}$  અને  $\vec{r}$  વડે રચાતા સમતલને લંબ છે.

આકૃતિ 4.4 વર્તુળાકાર રિંગથી ઉદ્ભવતું ચુંબકીય ક્ષેત્ર

$d\vec{B}$  ના બે ઘટકો (1) X-અક્ષને સમાંતર  $dB \cos \phi$  અને (2) X-અક્ષને લંબ  $dB \sin \phi$  થશે. આકૃતિ પરથી સ્પષ્ટ છે કે જ્યારે સમગ્ર રિંગ પરના બધા જ ખંડો વડે મળતી ચુંબકીય તીવ્રતાઓના સદિશોનો સરવાળો કરવામાં આવશે ત્યારે રિંગના વ્યાસ પરના સામસામેના ખંડો વડે મળતી તીવ્રતાઓના  $dB \sin \phi$  ઘટકો પરસ્પર વિરુદ્ધ દિશામાં હોઈ એકબીજાની અસરો નાબૂદ કરશે અને બધા  $dB \cos \phi$  ઘટકો એક જ દિશામાં હોવાથી તેમનો સરવાળો થશે.

વિદ્યુતપ્રવાહની ચુંબકીય અસરો

બાયો-સાવરના નિયમનો ઉપયોગ કરતાં,

$$|d\vec{B}| = \left| \frac{\mu_0}{4\pi} \frac{Id\vec{l} \times \vec{r}}{r^3} \right| = \frac{\mu_0}{4\pi} \frac{Idl r \sin\theta}{r^3} = \frac{\mu_0 Idl \sin\theta}{r^2},$$

જ્યાં  $\theta$  એ  $d\vec{l}$  અને  $\vec{r}$  વચ્ચેનો કોણ છે.

વળી,  $d\vec{l} \perp \vec{r}$  છે, તેથી  $\sin\theta = \sin\frac{\pi}{2} = 1$

$$\therefore |d\vec{B}| = \frac{\mu_0}{4\pi} \cdot \frac{Idl}{r^2} \quad (4.4.1)$$

P બિંદુ રિંગના કેન્દ્રથી  $x$  અંતરે હોવાથી  $d\vec{B}$  ના આ ઘટકનું મૂલ્ય  $dB(x)$  વડે દર્શાવતાં,

$$dB(x) = |d\vec{B}| \cos\phi \quad (4.4.2)$$

સમીકરણ (4.4.1)માંથી ક્રિમત સમીકરણ (4.4.2)માં મૂકતાં,

$$dB(x) = \frac{\mu_0}{4\pi} \frac{Idl}{r^2} \cos\phi = \frac{\mu_0 I}{4\pi r^2} \frac{a}{r} dl \quad (\because \text{આકૃતિ પરથી } \cos\phi = \frac{a}{r})$$

P બિંદુએ પરિણામી ચુંબકીય ક્ષેત્ર  $B(x) = \oint dB(x)$

$$= \frac{\mu_0 Ia}{4\pi r^3} \oint dl$$

અત્રે  $\oint dl$  એ સમગ્ર રિંગ પરનું રેખા-સંકલન છે.  $\therefore \oint dl = 2\pi a$ .

$$\therefore B(x) = \frac{\mu_0 Ia}{4\pi r^3} \cdot 2\pi a$$

વળી, આકૃતિની ભૂમિતિ પરથી  $r^2 = a^2 + x^2 \Rightarrow r^3 = (a^2 + x^2)^{\frac{3}{2}}$

$$B(x) = \frac{\mu_0 Ia^2}{2(a^2 + x^2)^{\frac{3}{2}}}$$

આ ચુંબકીય ક્ષેત્રની દિશા X-અક્ષને સમાંતર છે, જે રિંગની અક્ષ પર છે (જુઓ આકૃતિ 4.4). જો રિંગ, ખૂબ જ પાસપાસે રહેલા N આંટાની બનેલી હોય તો,

$$B(x) = \frac{\mu_0 NIa^2}{2(a^2 + x^2)^{\frac{3}{2}}} \quad (4.4.3)$$

રિંગના કેન્દ્ર પર રહેલા બિંદુ માટે  $x = 0$  થાય, તેથી રિંગના કેન્દ્ર પર ચુંબકીય તીવ્રતા શોધવા માટે સમીકરણ

$$(4.4.3) \text{ માં } x = 0 \text{ મૂકતાં, રિંગના કેન્દ્ર પર ચુંબકીય ક્ષેત્રની તીવ્રતા } B(\text{કેન્દ્ર}) = \frac{\mu_0 NI}{2a}. \quad (4.4.4)$$

ઉપર્યુક્ત રિંગના કેન્દ્રથી અક્ષ પર અતિ દૂર રહેલા બિંદુ માટે  $x \gg a$  થાય, તેથી  $x^2$ ની સાપેક્ષે  $a^2$ ને અવગણતાં સમીકરણ (4.4.3)

$$B(x) = \frac{\mu_0 N I a^2}{2(x^2)^{\frac{3}{2}}} = \frac{\mu_0 N I a^2}{2x^3} \quad (\text{જ્યાં, } x \gg a) \quad (4.4.5)$$

**ઉદાહરણ 1 :** હાઈડ્રોજન પરમાણુમાં પ્રોટોનની ફરતે ઇલેક્ટ્રોન  $2 \times 10^6 \text{ m s}^{-1}$ ની ઝડપથી  $5.2 \times 10^{-11} \text{ m}$  ત્રિજ્યાની વર્તુળાકાર કક્ષામાં ભ્રમણ કરે છે, તો કક્ષાના કેન્દ્ર પર ઉદ્ભવતું ચુંબકીય ક્ષેત્ર શોધો.

**ઉકેલ :** અત્રે  $v = 2 \times 10^6 \text{ ms}^{-1}$

$$r = 5.2 \times 10^{-11} \text{ m}$$

$$e = 1.6 \times 10^{-19} \text{ C}$$

કક્ષામાં ઇલેક્ટ્રોનની આવૃત્તિ  $f$  (એક સેકન્ડમાં પૂર્ણ કરેલા ભ્રમણ) =  $\frac{v}{2\pi r}$

$$\text{વિદ્યુતપ્રવાહ } I = f.e$$

$$= \frac{v}{2\pi r} \times e$$

$$= \frac{2 \times 10^6}{2 \times 3.14 \times 5.2 \times 10^{-11}} \times 1.6 \times 10^{-19} = 9.8 \times 10^{-4} \text{ A}$$

વર્તુળાકાર કક્ષાના કેન્દ્ર પર ઉદ્ભવતું ચુંબકીય ક્ષેત્ર

$$B = \frac{\mu_0 I}{2r}$$

$$= \frac{4 \times 3.14 \times 10^{-7} \times 9.8 \times 10^{-4}}{2 \times 5.2 \times 10^{-11}}$$

$$= 11.8 \text{ T}$$

**ઉદાહરણ 2 :** એક અવાહક દ્રવ્યની બનેલી  $R$  ત્રિજ્યાની એક તકતી પર  $Q$  જેટલો વિદ્યુતભાર સમાન રીતે પથરાયેલો છે. હવે આ તકતીને તેની ભૌમિતિક અક્ષ ફરતે  $f$  આવૃત્તિથી ભ્રમણ કરાવવામાં આવે, તો તકતીના કેન્દ્ર પર ઉદ્ભવતું ચુંબકીય પ્રેરણ શોધો.

**ઉકેલ :** આકૃતિમાં દર્શાવ્યા પ્રમાણે ધારો કે  $R$  ત્રિજ્યાવાળી તકતીને સમકેન્દ્રિત જુદી-જુદી ત્રિજ્યાવાળી રિંગોની શ્રેણીમાં વિભાજિત કરી શકાય. આમાંની કોઈ એક રિંગની ત્રિજ્યા  $r$  તથા જાડાઈ (પહોળાઈ)  $dr$  છે. તકતી

પરનો કુલ વિદ્યુતભાર  $Q$  છે, તેથી એકમક્ષેત્રફળ દીઠ વિદ્યુતભાર =  $\frac{Q}{\pi R^2}$

તેથી  $r$  ત્રિજ્યાવાળી ઘટક રિંગ પર વિદ્યુતભાર = (રિંગનું ક્ષેત્રફળ)  $\times$

$$(\text{એકમ ક્ષેત્રફળ પર રહેલો વિદ્યુતભાર}) = (2\pi r dr) \left( \frac{Q}{\pi R^2} \right)$$

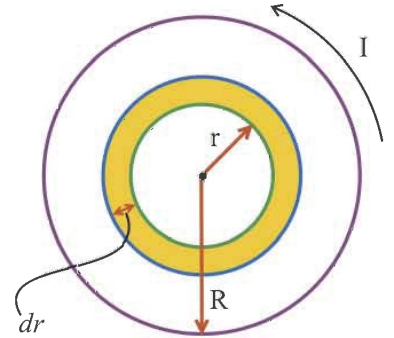
જો આ તકતી  $f$  આવૃત્તિથી ભ્રમણ કરતી હોય તો રિંગ પરના વિદ્યુતભારને લીધે ઉદ્ભવતો પ્રવાહ

$$I = \frac{Q}{\pi R^2} 2\pi r dr f \text{ થાય. આ પ્રવાહને લીધે ઉદ્ભવતું ચુંબકીય ક્ષેત્ર,}$$

$$dB = \frac{\mu_0 I}{2r} = \frac{\mu_0 Q 2\pi}{\pi R^2} \frac{r dr}{2r} f = \frac{\mu_0 Q f}{R^2} dr$$

$\therefore$  સમગ્ર તકતીને લીધે ઉદ્ભવતું ચુંબકીય ક્ષેત્ર  $B$ .

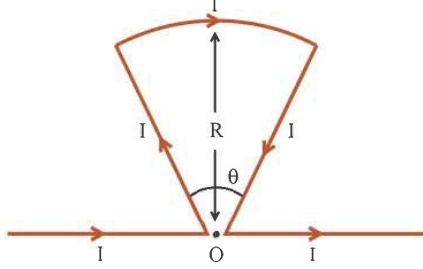
વિદ્યુતપ્રવાહની ચુંબકીય અસરો



$$B = \int dB = \int_0^R \frac{\mu_0 Qf}{R^2} dr = \frac{\mu_0 Qf}{R^2} \int_0^R dr$$

$$\therefore B = \frac{\mu_0 Qf}{R}$$

**ઉદાહરણ 3 :** આકૃતિમાં દર્શાવેલ બિંદુ O પાસે ચુંબકીય ક્ષેત્ર શોધો. O બિંદુ પાસે તાર એકબીજાને મળતા નથી. બિંદુ O તારના નીચેના ખાંચાઓથી અત્યંત નજીક છે.



**ઉકેલ :** અહીં, બિંદુ O એ સમક્ષિતિજ પ્રવાહોની દિશા પર જ છે. પરિણામે તેમને કારણે O પાસે ચુંબકીય ક્ષેત્ર ઉદ્ભવતું નથી. વળી, O બિંદુ ત્રિજ્યાવર્તી પ્રવાહોની દિશાઓ પર પણ આવે છે. આથી તેમને કારણે પણ O પાસે કોઈ ચુંબકીય ક્ષેત્ર ઉદ્ભવે નહિ. હવે વાત રહી ચાપની.

આ માટે આપણે R ત્રિજ્યાની n આંટાવાળી, વિદ્યુતવહન કરતી રિંગના કેન્દ્ર પર ઉદ્ભવતા ચુંબકીય ક્ષેત્ર માટેનું સૂત્ર વાપરી શકીએ. આ સૂત્ર અનુસાર,

$$B = \frac{\mu_0 nI}{2R} \quad (\text{પુસ્તકના પાનમાં અંદર જતી દિશામાં}) \quad (1)$$

પ્રસ્તુત ઉદાહરણમાં ચાપની લંબાઈ = R θ

હવે, જો ચાપની લંબાઈ 2πR હોય, તો એક આંટો કહેવાય, તો ચાપની લંબાઈ Rθ હોય, તો કેટલા આંટા કહેવાય ?

2πR : 1 આંટો

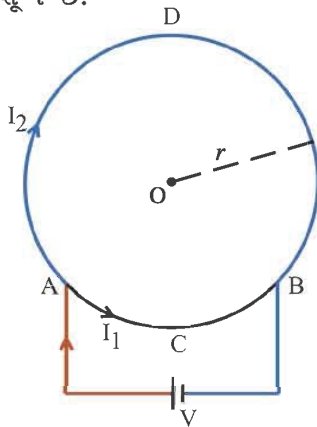
$$R \theta : ? \Rightarrow \text{આંટાની સંખ્યા, } n = \frac{R\theta}{2\pi R} = \frac{\theta}{2\pi}$$

સૂત્ર (1)માં nનું આ મૂલ્ય મૂકતાં,

$$B = \frac{\mu_0 I \theta}{2R \times 2\pi}$$

$$\therefore B = \frac{\mu_0 I \theta}{4\pi R} \quad (\text{પુસ્તકના પાનમાં અંદર જતી દિશામાં})$$

**ઉદાહરણ 4 :** એક નિયમિત આડછેદવાળા તાર વડે એક વર્તુળ બનાવવામાં આવેલ છે. આ વર્તુળના પરિઘ પરનાં કોઈ પણ બે બિંદુઓ વચ્ચે બેટરી જોડવામાં આવી છે, તો સાબિત કરો કે આ વર્તુળના કેન્દ્ર પર ચુંબકીય પ્રેરણ (B) શૂન્ય છે.



**ઉકેલ :** આકૃતિમાં બતાવ્યા મુજબ A અને B બિંદુઓ વચ્ચે બેટરી જોડેલ છે. તારનો આડછેદ નિયમિત હોવાથી, તારના કોઈ ભાગનો અવરોધ તે ભાગની લંબાઈના સમપ્રમાણમાં હોય છે. ( $\because R = \rho \frac{l}{A}$ ).

ધારો કે એકમલંબાઈના તારનો અવરોધ R' છે.

તાર ACBની લંબાઈ = l1

તાર ADBની લંબાઈ = l2

$\therefore$  તાર ACBનો અવરોધ = R1 = R' l1

તાર ADBમાં અવરોધ = R2 = R' l2



તાર ACBમાં વિદ્યુતપ્રવાહ =  $I_1$

તાર ADBમાં વિદ્યુતપ્રવાહ =  $I_2$

આ બે ભાગ ACB અને ADB એ A અને B બિંદુઓ વચ્ચે સમાંતર જોડાયેલા છે.

$$V = I_1 R_1 = I_2 R_2$$

$$= I_1 (R' l_1) = I_2 (R' l_2)$$

$$\therefore I_1 l_1 = I_2 l_2$$

તારનો દરેક સૂક્ષ્મ પ્રવાહ-ખંડ, O બિંદુના સ્થાનસંદિશને લંબ છે.

$\therefore$  બાયો-સાવરના નિયમ પરથી O બિંદુએ ACBને લીધે મળતું ચુંબકીય ક્ષેત્ર

$$B_1 = \frac{\mu_0}{4\pi} \frac{I_1 l_1 \sin 90^\circ}{r^2}$$

અને ADBને લીધે મળતું ચુંબકીય ક્ષેત્ર

$$B_2 = \frac{\mu_0}{4\pi} \frac{I_2 l_2 \sin 90^\circ}{r^2}$$

$$I_1 l_1 = I_2 l_2 \text{ હોવાથી}$$

$$B_1 = B_2 \text{ મળે.}$$

જમણા હાથના અંગૂઠાના નિયમ મુજબ  $B_1$  અને  $B_2$ ની દિશાઓ પરસ્પરવિરોધી છે, આથી O આગળનું પરિણામી ચુંબકીય ક્ષેત્ર શૂન્ય થશે.

#### 4.5 એમ્પિયરનો સર્કિટલ નિયમ (Ampere's Circuital Law)

આપણે વિદ્યુતક્ષેત્રમાં રેખા-સંકલન મેળવ્યું હતું, તેવું ચુંબકીય ક્ષેત્ર માટે પણ કરી શકીએ. આકૃતિમાં દર્શાવેલ વિદ્યુતપ્રવાહો  $I_1, I_2, I_3, I_4, I_5$  તથા  $I_6$  ધ્યાનમાં લો, જે ચુંબકીય ક્ષેત્ર ઉત્પન્ન કરે છે. આ ચુંબકીય ક્ષેત્ર તેમની આસપાસના વિસ્તારમાં હોય છે. આકૃતિ 4.5માં એક સમતલ (જે સમક્ષિતિજ હોવું જરૂરી નથી.) દર્શાવ્યું છે અને તેના પર એક યાદચ્છિક આકારનો બંધ વક્ર પણ દર્શાવ્યો છે. હવે, આ બંધ વક્ર (બંધગાળો) પર આપણે ચુંબકીય ક્ષેત્રનું રેખા-સંકલન લઈ શકીએ.

તમને એ પણ યાદ હશે કે વિદ્યુતક્ષેત્રમાં ગાઉસના નિયમ પ્રમાણે પૃષ્ઠ-સંકલન લેતા હતા, ત્યારે બંધ પૃષ્ઠથી ઘેરાયેલા વિદ્યુતભારો તેમની સંજ્ઞા ( $\pm$ ) સાથે લેતા હતા. આજ પ્રમાણે બંધ પૃષ્ઠથી ઘેરાયેલા વિદ્યુતપ્રવાહો, જેઓ સમતલમાંથી પસાર થતાં હોય તેમના માટે સંજ્ઞા-પ્રણાલી નક્કી કરવી પડે. આ માટેની એક વ્યાવહારિક રીત નીચે મુજબ છે.

રેખા-સંકલન માટે દોરેલા વક્રથી રચાતા સમતલને લંબરૂપે જમણા હાથનો સ્ક્રૂ ગોઠવી, તેને રેખાસંકલન માટે દોરેલા સંદિશ રેખાખંડોની દિશામાં ઘુમાવો. આમ કરતાં સ્ક્રૂ જે દિશામાં આગળ વધે તે દિશામાંના વિદ્યુતપ્રવાહોને ધન અને તેની વિરુદ્ધ દિશામાંના વિદ્યુતપ્રવાહોને ઋણ ગણો.

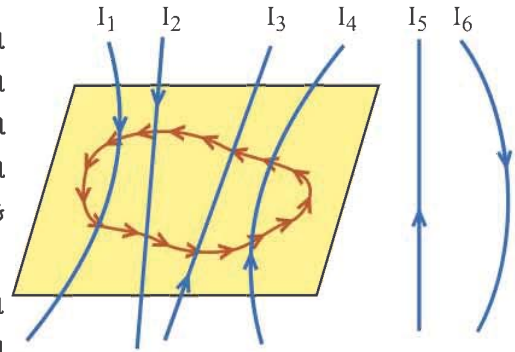
આકૃતિ 4.5માં દર્શાવેલા વિદ્યુતપ્રવાહો માટે આપણે સ્વીકારેલી સંજ્ઞા પદ્ધતિ અનુસાર, વિદ્યુતપ્રવાહો  $I_1$  અને  $I_2$  ઋણ થશે અને  $I_3$  અને  $I_4$  ધન થશે, તેથી તેમનો બૈજિક સરવાળો

$$I_3 + I_4 - I_1 - I_2 = \Sigma I \text{ થશે.}$$

અહીં જે પ્રવાહો બંધ વક્ર દ્વારા ઘેરાતા નથી, તેમની આપણે કોઈ ચિંતા કરવાની નથી. (જુઓ આકૃતિ 4.5) હવે એમ્પિયરના સર્કિટલ નિયમનું કથન નીચે પ્રમાણે છે :

“ચુંબકીય ક્ષેત્રમાં કોઈ બંધ વક્ર પરનું ચુંબકીય પ્રેરણનું રેખા-સંકલન, તે બંધ વક્ર દ્વારા ઘેરાતા વિદ્યુતપ્રવાહોના બૈજિક સરવાળા ( $\Sigma I$ ) અને શૂન્યાવકાશની પરમીએબિલિટીના ( $\mu_0$ ) ગુણાકાર બરાબર હોય છે.”

વિદ્યુતપ્રવાહની ચુંબકીય અસરો



આકૃતિ 4.5 એમ્પિયરનો સર્કિટલ નિયમ

સમીકરણના રૂપમાં આ નિયમ નીચે મુજબ લખાય :

$$\oint \vec{B} \cdot d\vec{l} = \mu_0 \Sigma I \quad (4.5.1)$$

અત્રે નોંધો કે સંકલનમાં જે ચુંબકીય પ્રેરણ આવે છે તે બધા જ પ્રવાહોને કારણે (આપણા કિસ્સામાં  $I_1, I_2, I_3, I_4, I_5, I_6$ ) ઉત્પન્ન થતું ચુંબકીય પ્રેરણ છે. જ્યારે સમીકરણની જમણી બાજુએ માત્ર જે પ્રવાહો બંધ વક્ર વડે ઘેરાય છે, તેમનો જ બૈજિક સરવાળો છે. અત્રે એ પણ નોંધવું જરૂરી છે કે એમ્પિયરનો નિયમ માત્ર સ્થાયી પ્રવાહો (Steady Currents) માટે જ સાચો છે.

જેવી રીતે સ્થિતવિદ્યુતના કિસ્સામાં ગાઉસના નિયમનો ઉપયોગ કરી, સંમિત વિદ્યુતભારવિતરણનું વિદ્યુતક્ષેત્ર શોધી શકાય છે, તેવી જ રીતે એમ્પિયરના નિયમનો ઉપયોગ કરીને સંમિત વિદ્યુતપ્રવાહવિતરણ વડે ઉદ્ભવતું ચુંબકીય ક્ષેત્ર શોધી શકાય છે.

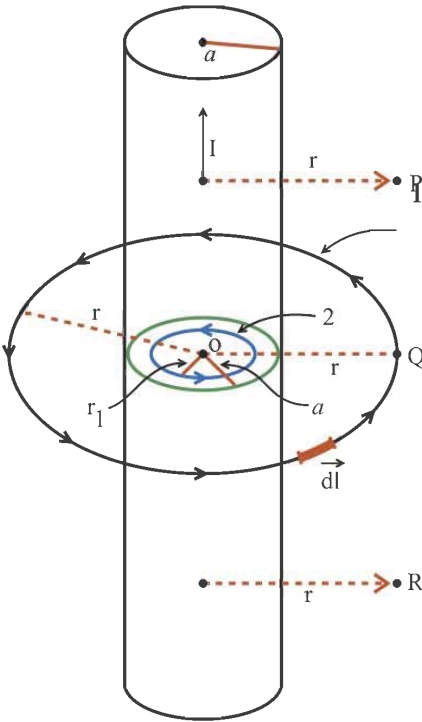
વિદ્યુતક્ષેત્ર માટે ગાઉસનો નિયમ અને ચુંબકીય ક્ષેત્ર માટે એમ્પિયરનો નિયમ ભૌતિકશાસ્ત્રમાં આગવું મહત્વ ધરાવે છે.

મેક્સવેલના વિદ્યુતચુંબકીય વાદના આધારસ્તંભ તરીકે કુલ ચાર સમીકરણો છે. તેમાં એમ્પિયરનો નિયમ અને ગાઉસનો નિયમ બે આધારસ્તંભો છે. વળી, ચુંબકીય ક્ષેત્રરેખાઓ બંધ ગાળા રચે છે. તે ત્રીજો આધાર સ્તંભ અને ચોથો આધારસ્તંભ વિદ્યુત-સ્થાનાંતર વિભાવના છે.

અત્રે નોંધો કે એમ્પિયરનો નિયમ એ બાયો-સાવરના નિયમની અને વિદ્યુતક્ષેત્ર માટેનો ગાઉસનો નિયમ એ કુલંબના નિયમની સંકલનના સ્વરૂપમાં માત્ર રજૂઆતો છે. આ રજૂઆતો ભૌતિકશાસ્ત્રમાં ઘણી ફળદાયી નીવડી છે.

#### 4.5.1 એમ્પિયર સર્કિટલ નિયમના ઉપયોગો (Uses of Ampere's Circuital Law)

##### (1) એમ્પિયરના નિયમનો ઉપયોગ કરી અતિ લાંબા વિદ્યુતપ્રવાહધારિત તાર વડે ઉદ્ભવતું ચુંબકીય ક્ષેત્ર શોધવું



આકૃતિ 4.6 વિદ્યુતપ્રવાહધારિત સુરેખ તારથી ઉદ્ભવતું ચુંબકીય ક્ષેત્ર

આપણે જોયું કે, સંમિત વિદ્યુતપ્રવાહવિતરણને લીધે ઉદ્ભવતું ચુંબકીય ક્ષેત્ર સહેલાઈથી શોધી શકાય છે. આકૃતિ 4.6માં દર્શાવેલ અતિ લાંબો (સૈદ્ધાંતિક રીતે અનંત લંબાઈનો)  $a$  ત્રિજ્યાવાળો,  $I$  જેટલા પ્રવાહનું વહન કરતો સુરેખ તાર ધ્યાનમાં લો.

આમાં સંમિતિ કઈ ? આની સમજ નીચે મુજબ મેળવી શકાય છે. પ્રથમ જુઓ કે સમગ્ર તારમાંથી સમાન વિદ્યુતપ્રવાહ  $I$  પસાર થઈ રહ્યો છે. હવે તારને તમારા હાથની બે હથેળી વચ્ચે રાખી વલોણીની જેમ ઘુમાવો. આમ કરવાથી તારમાંથી પસાર થતા વિદ્યુતપ્રવાહ  $I$  વડે ઉત્પન્ન થતા ચુંબકીય ક્ષેત્રમાં કોઈ ફેરફાર થતો નથી.

હવે તારથી  $r$  જેટલા સમાન લંબ અંતરે રહેલા P, Q અને R જેવાં બિંદુઓ વિચારો. તારના બંને છેડાઓ અનંત અંતરે છે. જ્યાં સુધી તારના છેડાઓ અનંત અંતરે છે, ત્યાં સુધી આ બિંદુઓ, P, Q અને Rના અંતરો તારના છેડાઓથી સમાન જ કહેવાય અને એ અર્થમાં આવાં બિંદુઓ સમતુલ્ય કહેવાય.

સંમિતિની ઉપર્યુક્ત ચર્ચા દર્શાવે છે કે P, Q અને R જેવાં બિંદુઓએ ચુંબકીય ક્ષેત્ર સમાન હોય, વળી, તારને વલોણીની જેમ ફેરવવાની વાત દર્શાવે છે કે Oને કેન્દ્ર તરીકે લઈ તારને ભ્રમણ આપતાં  $OQ = r$  ત્રિજ્યાનું જે વર્તુળ રચાય છે. તેના પરિઘ પરનાં બધાં જ બિંદુઓ પર ચુંબકીય ક્ષેત્ર સમાન હોય છે.

આ કિસ્સામાં આપણે એમ્પિરિયના નિયમનો ઉપયોગ કરી ધારો કે Q બિંદુએ ચુંબકીય ક્ષેત્ર શોધવું છે. આ માટે આકૃતિમાં દર્શાવ્યા મુજબ ત્રિજ્યા  $OQ = r$  તથા તારને લંબ હોય તેવો વર્તુળાકાર બંધ વક્ર (એમ્પિરિયન લૂપ 1)



વિચારો રેખાખંડો  $\vec{dl}$  આ વર્તુળના પરિઘ પર રહેલા છે. ધારો કે આ દરેક રેખાખંડ પાસે સમાન ચુંબકીય ક્ષેત્ર  $\vec{B}$  છે.

એમ્પિરિયનના નિયમ  $\oint \vec{B} \cdot d\vec{l} = \mu_0 \Sigma I$ માં ઉપર્યુક્ત હકીકતોનો ઉપયોગ કરતાં,

$$\oint B dl \cos\theta = \mu_0 I$$

અત્રે દરેક રેખાખંડ પાસે  $\vec{B}$  અને  $d\vec{l}$  એક જ દિશામાં હોવાથી  $\cos\theta = \cos 0 = 1$

$$\therefore B \oint dl = \mu_0 I \quad (\because B \text{ અચળ છે.})$$

અત્રે  $\oint dl = r$  ત્રિજ્યા ધરાવતા વર્તુળનો પરિઘ  $= 2\pi r$

$$\therefore B(2\pi r) = \mu_0 I$$

$$\therefore B = \frac{\mu_0 I}{2\pi r} \quad (4.5.2)$$

અત્રે આપણે નક્કી કરેલ સંજ્ઞા પ્રમાણે  $I$  ધન છે. સમીકરણ (4.5.2) પરથી,

$$B \propto \frac{1}{r} \quad (\text{તારની બહારના વિસ્તારમાં})$$

**તારની અંદરના વિસ્તારમાં ચુંબકીય ક્ષેત્ર :** હવે આકૃતિ 4.6માં દર્શાવ્યા પ્રમાણે તારની ત્રિજ્યા  $a$  છે અને તેના કેન્દ્રથી તારમાં  $r_1$  અંતરે ચુંબકીય ક્ષેત્ર શોધવું છે. એટલે કે  $r_1 < a$ .  $r_1$  ત્રિજ્યાવાળું એમ્પિરિયન લૂપ 2 ધ્યાનમાં લો. (જે તારની અંદર તારની અક્ષને ફરતે છે.) આ લૂપ વડે ઘેરાતો વિદ્યુતપ્રવાહ  $I_e$  હોય તો,

$$I_e = \left( \frac{I}{\pi a^2} \right) \pi r_1^2 = I \frac{r_1^2}{a^2}$$

એમ્પિયરના નિયમનો ઉપયોગ કરતાં,

$$B(2\pi r_1) = \mu_0 I \frac{r_1^2}{a^2}$$

$$\therefore B = \left( \frac{\mu_0 I}{2\pi a^2} \right) r_1 \quad (4.5.3)$$

$$\therefore B \propto r$$

$r_1$ ને  $r$  વડે દર્શાવતા એટલે કે  $r < a$  માટે  $B \propto r$

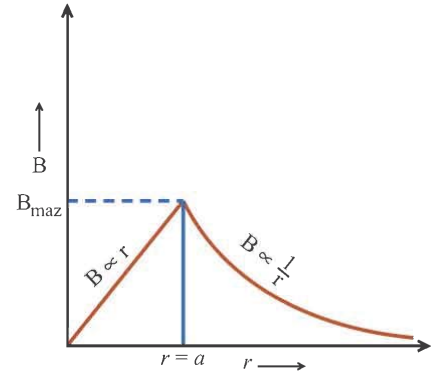
તેથી સામાન્ય સંકેત  $r$ માં ઉપર્યુક્ત હકીકતો નીચે પ્રમાણે દર્શાવી શકાય :

$$(i) \ r > a \text{ હોય, તો } B \propto \frac{1}{r}$$

$$(ii) \ r < a \text{ પાસે } B \propto r$$

$$(iii) \ r = a \text{ પાસે } B \text{નું મૂલ્ય મહત્તમ હશે.}$$

$B \rightarrow r$ નો આલેખ આ હકીકત દર્શાવે છે. (જુઓ આકૃતિ 4.7)



આકૃતિ 4.7 તારના કેન્દ્રથી  $r$  અંતરે ચુંબકીય ક્ષેત્ર  $B$



(2) સોલેનોઇડ : આકૃતિ 4.9માં દર્શાવ્યા મુજબ એકબીજાની નજીક એક જ દિશામાં વિદ્યુતપ્રવાહનું વહન કરતી બે રિંગો સમઅક્ષીય રહે તેમ ગોઠવેલી છે.



અંમ્પિયરના સર્કિટલના નિયમનો ઉપયોગ કરી અતિલાંબા સોલેનોઈડની અંદરના વિસ્તારમાં ઉદ્ભવતું ચુંબકીય ક્ષેત્ર શોધવું :


$$\therefore \oint \vec{B} \cdot d\vec{l} = \int_P^S \vec{B} \cdot d\vec{l} + \int_S^R \vec{B} \cdot d\vec{l} + \int_R^Q \vec{B} \cdot d\vec{l} + \int_Q^O \vec{B} \cdot d\vec{l}$$

આકૃતિ 4.10 પરથી સ્પષ્ટ છે કે બંધ વક્રનો PQ ભાગ સોલેનોઇડની બહાર હોઈને ત્યાં ચુંબકીય ક્ષેત્ર શૂન્ય હશે અને માટે  $\int_P^Q \vec{B} \cdot d\vec{l} = 0$ .

ઉપરાંત બાજુઓ QR અને SPનો અમુક ભાગ ચુંબકીય ક્ષેત્રની બહાર છે અને જે ભાગ ક્ષેત્રમાં છે, તે ક્ષેત્રને લંબ હોઈને  $\int_R^Q \vec{B} \cdot d\vec{l} = \int_P^S \vec{B} \cdot d\vec{l} = 0$  થશે.

$$\therefore \oint \vec{B} \cdot d\vec{l} = \int_S^R B dl \cos 0^\circ = B \int_S^R dl = BL \quad (4.5.5)$$

ધારો કે સોલેનોઇડની એકમ લંબાઈ દીઠ  $n$  આંટા છે. માટે ધ્યાનમાં લીધેલ એમ્પિયર લૂપ (લંબચોરસ PQRS)માંથી સોલેનોઇડના  $nL$  આંટા પસાર થાય છે. દરેક આંટામાંથી  $I$  વિદ્યુતપ્રવાહ વહે છે, તેથી લૂપમાંથી પસાર થતો કુલ વિદ્યુતપ્રવાહ  $\Sigma I = nLI$  થશે.

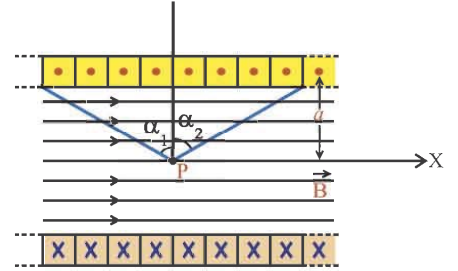
એમ્પિયરના સર્કિટલ નિયમ પરથી,

$$\begin{aligned} \oint \vec{B} \cdot d\vec{l} &= \mu_0 nLI \\ \therefore BL &= \mu_0 nLI \quad (\text{સમીકરણ 4.5.5 પરથી}) \\ \therefore B &= \mu_0 nI \end{aligned} \quad (4.5.6)$$

આ રીત અતિ લાંબા સોલેનોઇડ માટે જ વાપરી શકાય. કારણ કે અતિ લાંબા સોલેનોઇડ માટે જ અંદરના બધાં બિંદુઓનાં સ્થાન સમતુલ્ય ગણી શકાય તથા સોલેનોઇડની અંદરના વિસ્તારમાં બધાં બિંદુઓએ ચુંબકીય ક્ષેત્ર સમાન હોય છે. સોલેનોઇડના બહારના વિસ્તારમાં ચુંબકીય ક્ષેત્ર લગભગ શૂન્ય હોય છે. પરિમિત સોલેનોઇડ માટે આ રીત ન વાપરવી જોઈએ.

**પરિમિત લંબાઈના સોલેનોઇડ માટે :** પરિમિત લંબાઈના સોલેનોઇડ માટે બાયો-સાવરના નિયમનો ઉપયોગ કરી તેની અંદરના બિંદુએ ચુંબકીય ક્ષેત્રનું સૂત્ર મેળવી શકાય છે, જે નીચે મુજબ છે. આ માટે નીચેના આકૃતિ 4.11 ધ્યાનમાં લો.

$$B = \frac{\mu_0 nI}{2} (\sin \alpha_1 + \sin \alpha_2) \quad (4.5.7)$$

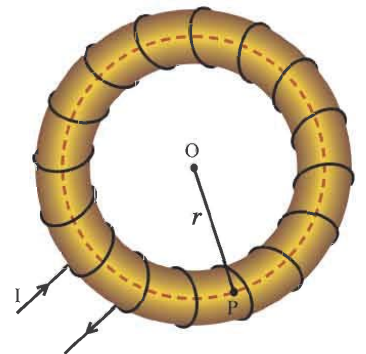


અત્રે  $\alpha_1$  અને  $\alpha_2$  એ આકૃતિ 4.11માં દર્શાવ્યા અનુસાર સોલેનોઇડના બે છેડાઓને અનુલક્ષીને P પાસે લંબ સાથે બનતા કોણ છે.

**ટોરોઇડ (Toroid) :** જો સોલેનોઇડને વર્તુળાકારમાં વાળી તેના છેડા જોડી દેવામાં આવે, તો બનતી રચનાને ટોરોઇડ કહે છે. અથવા તો અલગ કરેલા વાહક તારને અવાહક પોલીરિંગ પર ખૂબ જ પાસપાસે વીંટાળીને બનાવેલ રચનાને ટોરોઇડ કહે છે.

આકૃતિ 4.12માં આવું એક ટોરોઇડ દર્શાવેલ છે. (ટૂંકમાં ટોરોઇડનો આકાર હવા ભરેલી ટાયરની ટચૂબ જેવો હોય છે. અંગ્રેજીમાં તેને Doughnut Shape કહે છે. વિદ્યુતપ્રવાહધારિત ટોરોઇડની (કોઈલની) અંદરના ભાગમાં ઉદ્ભવતું ચુંબકીય ક્ષેત્ર એમ્પિયરના સર્કિટલ નિયમની મદદથી મેળવી શકાય છે.

ધારો કે ટોરોઇડની અંદરના ભાગમાં ટોરોઇડના કેન્દ્ર O થી  $r$  અંતરે આવેલ P બિંદુ પાસે (જુઓ આકૃતિ) ચુંબકીય ક્ષેત્ર શોધવું છે. આ માટે ટોરોઇડના કેન્દ્ર O ને કેન્દ્ર તરીકે લઈ  $r$  ત્રિજ્યાના વર્તુળને એમ્પિરિયન લૂપ તરીકે લઈએ તો સંમિતિના આધારે કહી શકાય કે આ લૂપ પરના દરેક બિંદુએ ચુંબકીય ક્ષેત્રનું મૂલ્ય સમાન હશે અને ક્ષેત્રની દિશા તે બિંદુએ વર્તુળને દોરેલા સ્પર્શકની દિશામાં હશે. માટે



આકૃતિ 4.12 ટોરોઇડ

વિદ્યુતપ્રવાહની ચુંબકીય અસરો

$$\oint \vec{B} \cdot d\vec{l} = \oint B dl \quad (\because \vec{B} \text{ અને } d\vec{l} \text{ એક જ દિશામાં છે.)}$$

$$= B \oint dl = B(2\pi r) \quad (4.5.8)$$

જો ટોરોઇડના આંટાની કુલ સંખ્યા  $N$  હોય અને તેમાંથી પસાર થતો વિદ્યુતપ્રવાહ  $I$  હોય તો એમ્પિરિયન લૂપ વડે ઘેરાતા ક્ષેત્રફળમાંથી પસાર થતો કુલ વિદ્યુતપ્રવાહ  $\Sigma I = NI$  થશે. માટે એમ્પિયરના સર્કિટલના નિયમ પરથી

$$\oint \vec{B} \cdot d\vec{l} = \mu_0 NI \quad (4.5.9)$$

સમીકરણ (4.5.8) અને (4.5.9) પરથી

$$B(2\pi r) = \mu_0 NI$$

$$B = \frac{\mu_0 NI}{2\pi r} = \mu_0 nI \quad (4.5.10)$$

જ્યાં,  $n = \frac{N}{2\pi r}$  ટોરોઇડના પરિઘ પર એકમ લંબાઈ દીઠ આંટાઓની સંખ્યા.

ટોરોઇડની અંદરના ભાગમાં (બહારના ભાગમાં નહિ) ઉદ્ભવતા ચુંબકીય ક્ષેત્ર માટેનું આ સૂત્ર છે. આ ચુંબકીય ક્ષેત્રનું મૂલ્ય ટોરોઇડના અંદરના દરેક બિંદુએ સમાન હોય છે.

આદર્શ ટોરોઇડમાં આંટાઓ સંપૂર્ણ રીતે વર્તુળાકાર હોવાથી તેના વચ્ચેના તેમજ બહારના વિસ્તારમાં ચુંબકીય ક્ષેત્ર શૂન્ય હોય છે. વ્યવહારમાં વપરાતા ટોરોઇડની કોઈલ (Helical) હોવાથી તેના (ટોરોઇડના) બહારના ભાગમાં પણ થોડુંક ચુંબકીય ક્ષેત્ર હોય છે. ન્યુક્લિયર સંલયન (nuclear fusion)ની ઘટનામાં પ્લાઝ્માના (confinement) માટે વપરાતી (Tokamak) નામની રચનામાં ટોરોઇડ ખૂબ જ ઉપયોગી રચના છે.

#### 4.6 ચુંબકીય ક્ષેત્રમાં મૂકેલા વિદ્યુતપ્રવાહધારિત તાર પર લાગતું બળ (Force on a Current Carrying Wire Placed in a Magnetic Field)

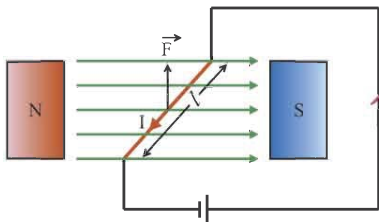
ઓર્સ્ટેડના અવલોકનની પ્રસિદ્ધિના એક અઠવાડિયાના સમયગાળામાં વિજ્ઞાની એમ્પિયરે એક બીજું અવલોકન કર્યું. આ અવલોકનમાં તેણે જોયું કે એકબીજાને સમાંતર ગોઠવેલા બે વિદ્યુતપ્રવાહધારિત તારોમાંથી પસાર થતા વિદ્યુતપ્રવાહો જો એકસમાન દિશામાં હોય તો, તેમની વચ્ચે આકર્ષણ ઉદ્ભવે છે અને જો પ્રવાહો વિરુદ્ધ દિશામાં હોય તો, તેમની વચ્ચે અપાકર્ષણ ઉદ્ભવે છે.

આપણે જોયું કે કોઈ તારમાંથી વિદ્યુતપ્રવાહ પસાર થાય છે, ત્યારે તેની આસપાસ ચુંબકીય ક્ષેત્ર ઉત્પન્ન થાય છે. હવે આ તારની પાસે એક બીજો વિદ્યુતપ્રવાહધારિત તાર મૂકીએ (એટલે કે પ્રથમ તારમાં વહેતા વિદ્યુતપ્રવાહને લીધે ઉદ્ભવતા ચુંબકીય ક્ષેત્રમાં બીજો વિદ્યુતપ્રવાહધારિત તાર મૂકીએ.) તો તેના પર પ્રથમ તારથી ઉદ્ભવેલ ચુંબકીય ક્ષેત્રને કારણે બળ લાગે છે. આ જ પ્રમાણે બીજા તારમાંથી વહેતા વિદ્યુતપ્રવાહને લીધે ઉદ્ભવતા ચુંબકીય ક્ષેત્રમાં પ્રથમ તાર રહેલો છે, તેથી બીજા તારમાંથી વહેતા વિદ્યુતપ્રવાહને લીધે ઉદ્ભવેલા ચુંબકીય ક્ષેત્રને કારણે પ્રથમ તાર પર બળ લાગે છે.

બળ લાગવાની આ પ્રક્રિયા સંજ્ઞાત્મક રીતે નીચે મુજબ રજૂ કરી શકાય :

$$\left. \begin{array}{l} \text{પ્રથમ તારમાં} \\ \text{વિદ્યુતપ્રવાહ} \end{array} \right\} \begin{array}{l} \rightarrow \text{ચુંબકીય ક્ષેત્ર} \\ \leftarrow \end{array} \left\{ \begin{array}{l} \text{બીજા તારમાં} \\ \text{વિદ્યુતપ્રવાહ} \end{array} \right.$$

બીજા શબ્દોમાં બંને તાર વચ્ચે ચુંબકીય ક્ષેત્ર દ્વારા પરસ્પર બળ લાગે છે. બે વિદ્યુતપ્રવાહધારિત તાર વચ્ચેનું ચુંબકીય બળ જાણવા માટે વિદ્યુતપ્રવાહધારિત તારને ચુંબકીય ક્ષેત્રમાં મૂકતાં તેના પર લાગતું બળ જાણવું જોઈએ. આવા બળ માટેનો નિયમ એમ્પિયરે પ્રાયોગિક પરિણામો પરથી મેળવ્યો છે, જે નીચે મુજબ છે :



આકૃતિ 4.13

$$\vec{B} \text{ જેટલા ચુંબકીય પ્રેરણને લીધે } I d\vec{l} \text{ પ્રવાહખંડ પર લાગતું બળ}$$

$$d\vec{F} = I d\vec{l} \times \vec{B} \quad (4.6.1)$$

વડે અપાય છે.

જો વિદ્યુતપ્રવાહધારિત તારની લંબાઈ  $l$  હોય અને તેને સમાન ચુંબકીય ક્ષેત્ર  $\vec{B}$  માં મૂક્યો હોય, તો તેના પર લાગતું બળ

$$\vec{F} = I \vec{l} \times \vec{B} \quad (4.6.2)$$

આવી એક ગોઠવણ આકૃતિ 4.13માં દર્શાવી છે.

અત્રે બળ  $\vec{F}$  ની દિશા સદિશ ગુણાકાર માટેના જમણા હાથના સ્કૂના નિયમની મદદથી નક્કી કરી શકાય છે.

#### 4.6.1 બે સમાંતર વિદ્યુતપ્રવાહધારિત તાર વચ્ચે લાગતું બળ (The Force between Two parallel Current Carrying Wires)

આકૃતિ 4.14માં દર્શાવ્યા પ્રમાણે એકબીજાથી  $y$  અંતરે મુકેલા અને એક જ દિશામાં  $I_1$  અને  $I_2$  પ્રવાહોનું વહન કરતા બે અતિ લાંબા સમાંતર તારોને ધ્યાનમાં લો. અત્રે બંને તારો X-અક્ષને સમાંતર મુકેલા છે.

હવે  $I_1$  પ્રવાહધારિત પ્રથમ તાર 1 થી  $y$  અંતરે ચુંબકીય ક્ષેત્ર (સમીકરણ (4.5.2) અનુસાર)

$$\vec{B}_1 = \frac{\mu_0}{2\pi} \frac{I_1}{y} \hat{k} \quad (4.6.3)$$

આ ચુંબકીય ક્ષેત્ર બીજા તારનાં બધાં જ બિંદુઓએ સમાન છે અને તે Z દિશામાં છે. બીજા તારની  $l$  લંબાઈ દીઠ લાગતું ચુંબકીય બળ,

$$\vec{F}_2 = I_2 \vec{l} \times \vec{B}_1 \quad (\text{સમીકરણ 4.6.2 અનુસાર})$$

$B_1$  નું મૂલ્ય સમીકરણ (4.4.3)માંથી ઉપર્યુક્ત સમીકરણમાં મૂકતાં,

$$\vec{F}_2 = I_1 I_2 \frac{\mu_0}{2\pi y} l \hat{i} \times \hat{k} \quad (\because \text{પ્રવાહ } I_2 \text{ X દિશામાં છે.})$$

$$\therefore \vec{F}_2 = -\frac{\mu_0}{2\pi} \frac{I_1 I_2 l}{y} \hat{j} \quad (4.6.4)$$

ઉપર્યુક્ત સમીકરણ દર્શાવે છે કે બળ  $\vec{F}_2$  ઋણ Y દિશામાં છે.

બીજા પ્રવાહધારિત તારને લીધે પ્રથમ તાર પર લાગતું બળ આ જ રીતે નીચે મુજબ છે :

$$\vec{F}_1 = \frac{\mu_0}{2\pi} \frac{I_1 I_2 l}{y} \hat{j} \quad (4.6.5)$$

ઉપર્યુક્ત સમીકરણ દર્શાવે છે કે આ બળ  $F_1$  એટલે કે  $(I_1)$  તાર પર લાગતું બળ ધન Y દિશામાં છે.

$$\text{આમ, } \vec{F}_1 = -\vec{F}_2 \quad (4.6.6)$$

બંને તારો વચ્ચે લાગતાં બળ બંને તારો વચ્ચે આકર્ષણ થતું હોવાનું સૂચવે છે.

જો બંને તારોમાંથી વહેતા વિદ્યુતપ્રવાહો પરસ્પર વિરુદ્ધ દિશામાં હોય, તો તેમની વચ્ચે અપાકર્ષણ ઉદ્ભવે છે.

સમીકરણ (4.6.6) પરથી સ્પષ્ટ છે કે અહીં પણ ન્યૂટનનો ગતિનો ત્રીજો નિયમ પળાય છે.

#### એમ્પિયરની વ્યાખ્યા :

સમીકરણ (4.6.4)માં જો

$I_1 = I_2 = 1\text{A}$ ,  $y = 1\text{ m}$  અને  $l = 1\text{m}$  લેવામાં આવે, તો

$$|\vec{F}_2| = \frac{\mu_0}{2\pi} = \frac{4\pi \times 10^{-7}}{2\pi} = 2 \times 10^{-7} \text{ N} \quad (4.6.7)$$

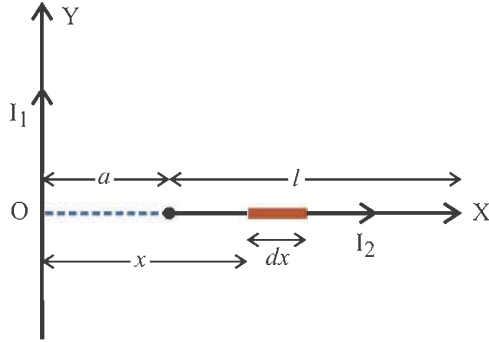
વિદ્યુતપ્રવાહની ચુંબકીય અસરો



આ હકીકતનો ઉપયોગ કરીને વિદ્યુતપ્રવાહના SI એકમ ‘એમ્પિયર’ની વ્યાખ્યા નીચે મુજબ આપવામાં આવે છે :  
 “એકબીજાથી 1 m અંતરે શૂન્યાવકાશમાં રહેલા અતિ લાંબા, અવગણ્ય આડછેદવાળા બે સમાંતર સુરેખ તારમાંથી જે સમાન વિદ્યુતપ્રવાહને પ્રત્યેક તારમાંથી પસાર કરતાં, તારો વચ્ચે 1 m લંબાઈ દીઠ ઉદ્ભવતું ચુંબકીય બળ  $2 \times 10^{-7}$  N હોય તો, તે વિદ્યુતપ્રવાહને 1 ampere કહેવાય છે.”

**ઉદાહરણ 5 :** આકૃતિમાં દર્શાવ્યા પ્રમાણે Y દિશામાં ગોઠવેલા એક અતિ લાંબા વાહક તારમાંથી વિદ્યુતપ્રવાહ  $I_1$  પસાર થઈ રહ્યો છે. આ તારમાંથી જેનો એક છેડો  $a$  અંતરે છે, તેવો  $I_2$  જેટલા વિદ્યુતપ્રવાહનું વહન કરતો  $l$  લંબાઈનો બીજો વાહક તાર X-અક્ષ પર ગોઠવ્યો છે, તો આ તાર પર O ના સંદર્ભમાં લાગતું ટોર્ક શોધો.

**ઉકેલ :** O થી  $x$  અંતરે વિદ્યુતપ્રવાહ-ખંડ  $I_2 dx$  ધ્યાનમાં લો. આ ખંડ પર લાગતું બળ,



$$d\vec{F} = I_2 dx \hat{i} \times \vec{B}$$

$$\text{જ્યાં, } \vec{B} = \frac{\mu_0 I_1}{2\pi x} (-\hat{k})$$

(અતિ લાંબા તાર વડે ઉદ્ભવતું ક્ષેત્ર)

$$\begin{aligned} \therefore d\vec{F} &= I_2 dx \hat{i} \times \frac{\mu_0 I_1}{2\pi x} (-\hat{k}) \\ &= \frac{\mu_0 I_1 I_2 dx}{2\pi x} \hat{j} \end{aligned}$$

$\therefore$  O ના સંદર્ભમાં આ ખંડ પર લાગતું ટોર્ક,

$$d\vec{\tau} = x \hat{i} \times d\vec{F} = x \hat{i} \times \frac{\mu_0 I_1 I_2 dx}{2\pi x} \hat{j} = \frac{\mu_0 I_1 I_2}{2\pi} dx \hat{k}$$

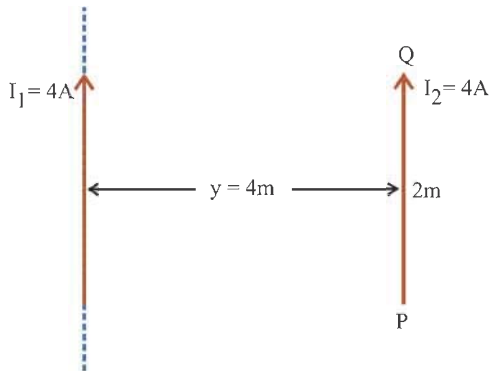
સમગ્ર તાર પર લાગતું ટોર્ક, આ સમીકરણનું  $x = a$  થી  $x = a + l$  સુધી સંકલન લેવાથી મળે છે.

$$\therefore \vec{\tau} = \frac{\mu_0 I_1 I_2}{2\pi} \int_a^{a+l} dx \hat{k} = \frac{\mu_0 I_1 I_2}{2\pi} [x]_a^{a+l} \hat{k} = \frac{\mu_0 I_1 I_2}{2\pi} [a + l - a] \hat{k}$$

$$\therefore \vec{\tau} = \frac{\mu_0 I_1 I_2 l}{2\pi} \hat{k}$$

**ઉદાહરણ 6 :** આકૃતિમાં દર્શાવ્યા પ્રમાણે 2 m લંબાઈનો 4A વિદ્યુતપ્રવાહ ધરાવતો એક સુરેખ તાર PQ એક અતિ લાંબા તારને સમાંતર 4 m અંતરે મૂક્યો છે. જો અતિ લાંબા તારમાંથી પસાર થતો પ્રવાહ પણ 4A હોય, તો PQ તાર વડે અતિ લાંબા તાર પર લાગતું બળ શોધો.

**ઉકેલ :** અતિ લાંબો તાર, નાના તાર પર જે બળ લગાડે છે, તેટલું જ બળ ન્યૂટનના ગતિના ત્રીજા નિયમ અનુસાર નાનો તાર, અતિ લાંબા તાર પર લગાડે છે. એટલે આપણે અતિ લાંબા તાર વડે નાના તાર પર લાગતું બળ શોધીશું.



ધારો કે અતિ લાંબા તાર વડે નાના તાર પાસે ઉદ્ભવતું ક્ષેત્ર  $\vec{B}$  છે.

$$\therefore \vec{B} = \frac{\mu_0 I_1}{2\pi y} \hat{n} \quad (1)$$

જ્યાં  $\hat{n}$  એ  $\vec{B}$  ની દિશામાં એકમસદિશ છે.

આ ક્ષેત્ર, નાના તાર પર, પુસ્તકના પાનાની અંદર જતી દિશામાં છે.

$$\text{હવે, બળ, } \vec{F} = I_2 \vec{l} \times \vec{B}$$



$$\therefore |\vec{F}| = I_2 l B (\because \vec{l} \perp \vec{B})$$

આ સમીકરણમાં સમીકરણ (1)નો ઉપયોગ કરતાં,

$$\begin{aligned} \therefore |\vec{F}| &= \frac{I_2 \mu_0 I_1}{2\pi y} \\ &= \frac{4 \times 2 \times 4 \times 3.14 \times 10^{-7} \times 4}{2 \times 3.14 \times 4} \end{aligned}$$

$$\therefore |\vec{F}| = 16 \times 10^{-7} \text{ N}$$

આ બળ બંને તાર વચ્ચે આકર્ષણ થાય તેમ ઉદ્ભવે છે.

**ઉદાહરણ 7 :** આકૃતિમાં દર્શાવ્યા પ્રમાણે I જેટલા વિદ્યુતપ્રવાહનું વહન કરતો એક તાર, પુસ્તકના પાનમાં મૂક્યો

છે.  $\vec{B}$  જેટલા પ્રેરણવાળું નિયમિત ચુંબકીય ક્ષેત્ર પુસ્તકના પાનને લંબ છે અને તેની દિશા પુસ્તકના પાનમાં અંદર જતી દિશામાં છે, તો વાહક તાર પર લાગતું બળ શોધો.

બિંદુ  $A_1$  અને  $B_1$  ને જોડતી રેખા (જે તારનો ભાગ નથી) આકૃતિમાં દર્શાવ્યા અનુસાર 1 m લંબાઈની છે.

**ઉકેલ :**  $I d\vec{l}$  જેટલા વિદ્યુતપ્રવાહ-ખંડ પર,  $\vec{B}$  જેટલું પ્રેરણ ધરાવતા ચુંબકીય ક્ષેત્રને કારણે લાગતું બળ,

$$d\vec{F} = I d\vec{l} \times \vec{B}$$

$\therefore$  સમગ્ર તાર પર લાગતું બળ,

$$\vec{F} = \int I d\vec{l} \times \vec{B} \text{ (અહીં સંકલન સમગ્ર તાર પર છે.)}$$

અત્રે,  $\vec{B}$  અચળ હોવાથી તથા I પણ અચળ હોવાથી, તેમને સંકલનની બહાર નીચે દર્શાવ્યા અનુસાર લઈ શકાય :

$$\therefore \vec{F} = I \left[ \int_{\text{આખા તાર પર}} d\vec{l} \right] \times \vec{B}$$

$$\text{પણ, } \int d\vec{l} = \vec{A_1 B_1} = 1 \hat{n} (\because A_1 B_1 = 1 \text{ m})$$

જ્યાં,  $\hat{n} = \vec{A_1 B_1}$  દિશામાં એકમસદિશ

$$\therefore \vec{F} = I \hat{n} \times \vec{B} \Rightarrow |\vec{F}| = IB$$

#### 4.7 ચુંબકીય ક્ષેત્રમાં ગતિ કરતા વિદ્યુતભાર પર લાગતું બળ અને લૉરેન્ઝ બળ (Force Acting on an Electric Charge Moving in a Magnetic Field and Lorentz Force)

પ્રકરણ 3માં આપણે જોયું કે વાહકના A ક્ષેત્રફળવાળા આડછેદમાંથી પસાર થતો વિદ્યુતપ્રવાહ

$$I = n A v_d q$$

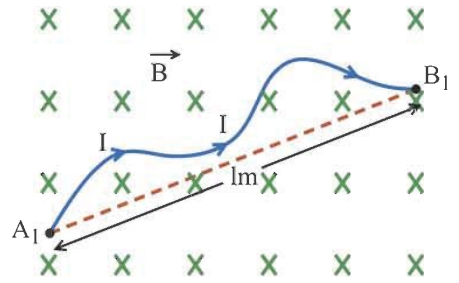
અહીં,  $q$  = ધન વિદ્યુતભારિત કણ પરનો વિદ્યુતભાર

$n$  = વાહકના એકમ કદ દીઠ વિદ્યુતભારિત કણોની સંખ્યા

$v_d$  = ડ્રિફ્ટવેગ

$$\therefore I d\vec{l} = q n A v_d d\vec{l} = q n A v_d d\vec{l} (\because v_d \text{ અને } d\vec{l} \text{ એક જ દિશામાં છે.)}$$

વિદ્યુતપ્રવાહની ચુંબકીય અસરો



જો  $I \vec{dl}$  પ્રવાહ-ખંડને  $\vec{B}$  જેટલા પ્રેરણવાળા સમાન (નિયમિત) ચુંબકીય ક્ષેત્રમાં મૂકવામાં આવે, તો તેના પર લાગતું બળ સમીકરણ (4.6.1) પરથી.

$$d\vec{F} = I \vec{dl} \times \vec{B}$$

$$\therefore d\vec{F} = qnAdl(\vec{v}_d \times \vec{B}) \quad (4.7.1)$$

પરંતુ  $nAdl$  = તારના આ ખંડમાં રહેલા વિદ્યુતભારિત કણોની સંખ્યા

$\therefore q$  જેટલો વિદ્યુતભાર ધરાવતા એક કણ પર લાગતું ચુંબકીય બળ (magnetic force),

$$\vec{F}_m = \frac{d\vec{F}}{nAdl} = \frac{qnAdl(\vec{v}_d \times \vec{B})}{nAdl}$$

$$\therefore \vec{F}_m = q(\vec{v}_d \times \vec{B}) \quad (4.7.2)$$

$$\therefore |\vec{F}_m| = Bqv_d \sin \theta$$

હવે જો આ વિદ્યુતભાર ચુંબકીય ક્ષેત્ર,  $\vec{B}$  ઉપરાંત  $\vec{E}$  જેટલી તીવ્રતાવાળા વિદ્યુતક્ષેત્રમાંથી પણ પસાર થતો હોય તો, તેના પર વિદ્યુતબળ ( $\vec{F}_e = q\vec{E}$ ) પણ લાગશે. આ સંજોગોમાં વિદ્યુતભાર પર લાગતું કુલ બળ,

$$\vec{F} = \vec{F}_e + \vec{F}_m$$

$$\therefore \vec{F} = q[\vec{E} + (\vec{v}_d \times \vec{B})] \quad (4.7.3)$$

આ સમીકરણ વડે મળતા બળને લોરેન્ડ્ઝ બળ કહે છે.

ચુંબકીય ક્ષેત્રમાં ગતિ કરતા વિદ્યુતભારિત કણ પર લાગતું ચુંબકીય બળ, વેગને લંબ હોવાથી કાર્ય શૂન્ય હોય છે અને તેથી કણની ગતિ-ઊર્જા અચળ રહે છે, પરંતુ વેગની માત્ર દિશા જ બદલાય છે.

ચુંબકીય બળનું મૂલ્ય, કણના વેગ પર આધારિત છે. આવા બળને વેગ-આધારિત (velocity dependent) બળ કહે છે.

**ઉદાહરણ 8 :**  $4\hat{k}$  T જેટલા સમાન ચુંબકીય ક્ષેત્ર તેમજ અમુક મૂલ્યના સમાન વિદ્યુતક્ષેત્રની સંયુક્ત અસર ધરાવતા વિસ્તારમાંથી 2 C વિદ્યુતભાર ધરાવતો કણ  $25\hat{j}$  m s<sup>-1</sup> ના વેગથી પસાર થાય છે. જો આ કણ પર લાગતું લોરેન્ડ્ઝ બળ  $400\hat{i}$  N હોય, તો આ વિસ્તારમાં પ્રવર્તતું વિદ્યુતક્ષેત્ર શોધો.

**ઉકેલ :** લોરેન્ડ્ઝ બળ

$$\vec{F} = q[\vec{E} + (\vec{v}_d \times \vec{B})]$$

$$\text{અહીં, } q = 2 \text{ C, } \vec{v} = 25\hat{j} \text{ m s}^{-1}, B = 4\hat{k} \text{ T, } \vec{F} = 400\hat{i}$$

$$\therefore 400\hat{i} = 2[\vec{E} + (25)(4)(\hat{j} \times \hat{k})]$$

$$= 2\vec{E} + 200\hat{i}$$

$$\therefore 2\vec{E} = 200\hat{i}$$

$$\therefore \vec{E} = 100\hat{i} \text{ V m}^{-1}$$

**ઉદાહરણ 9 :** તાંબામાં એક ઘનમીટર દીઠ  $8 \times 10^{28}$  વાહક ઇલેક્ટ્રોન હોય છે.  $4.0 \times 10^{-3} \text{ T}$  ના ચુંબકીય ક્ષેત્રમાં લંબરૂપે  $1 \text{ m}$  લંબાઈવાળા અને  $8 \times 10^{-6} \text{ m}^2$  આડછેદનું ક્ષેત્રફળ ધરાવતા વિદ્યુતપ્રવાહધારિત તાંબાના તાર પર  $8.0 \times 10^{-2} \text{ N}$ નું બળ લાગે છે, તો આ તારમાં મુક્ત ઇલેક્ટ્રોનનો ડ્રિફ્ટવેગ ગણો.

**ઉકેલ :** તાર પર લાગતું ચુંબકીય બળ નીચેના સૂત્રથી આપી શકાય :

$$\vec{F} = I \vec{l} \times \vec{B}. \text{ અત્રે તાર ચુંબકીય ક્ષેત્રને લંબરૂપે હોવાથી}$$

$$|\vec{F}| = I l B, \text{ જ્યાં } F = 8.0 \times 10^{-2} \text{ N}$$

$$B = 4.0 \times 10^{-3} \text{ T અને}$$

$$l = 1 \text{ m}$$

$$\therefore I = \frac{F}{Bl} = \frac{8 \times 10^{-2}}{4 \times 10^{-3} \times 1} = 20 \text{ A}$$

$$\text{હવે, } I = A v_d n \cdot e$$

$$n = \text{એકમકદમાં રહેલા ઇલેક્ટ્રોનની સંખ્યા} = 8 \times 10^{28}$$

$$A = 8 \times 10^{-6} \text{ m}^2 \text{ અને } e = 1.6 \times 10^{-19} \text{ C}$$

$$\therefore v_d = \frac{I}{n \cdot A \cdot e}$$

$$= \frac{20}{8 \times 10^{28} \times 8 \times 10^{-6} \times 1.6 \times 10^{-19}} = 1.953 \times 10^{-4}$$

$$\approx 2 \times 10^{-4} \text{ m s}^{-1}$$

**ઉદાહરણ 10 :** ચુંબકીય ક્ષેત્રમાં ગતિ કરતા વિદ્યુતભાર પર લાગતા બળનું સૂત્ર લખો. તે પરથી ન્યૂટનનું ગતિનું સમીકરણ મેળવી સાબિત કરો કે કણની ગતિ-ઊર્જા સમય સાથે અફર રહે છે.

$$\text{ઉકેલ : } \vec{F}_m = q(\vec{v} \times \vec{B})$$

$$\therefore m \frac{d\vec{v}}{dt} = q(\vec{v} \times \vec{B})$$

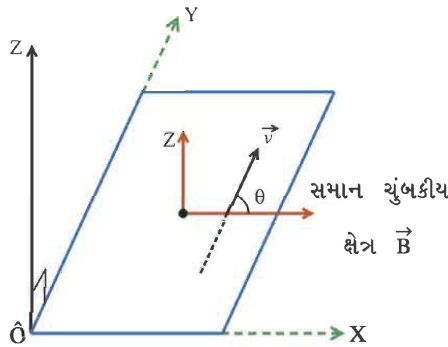
બંને બાજુ  $\vec{v}$  વડે અદિશ ગુણાકાર કરતાં,

$$m \vec{v} \cdot \frac{d\vec{v}}{dt} = q \vec{v} \cdot (\vec{v} \times \vec{B})$$

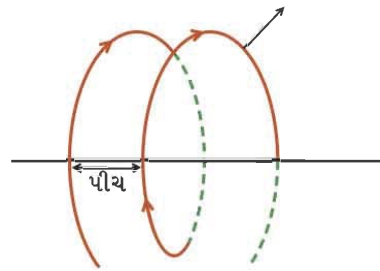
$$\therefore m \frac{1}{2} \frac{d}{dt} (\vec{v} \cdot \vec{v}) = 0 \quad (\because \vec{v} \text{ અને } \vec{v} \times \vec{B} \text{ પરસ્પર લંબ છે.)}$$

$$\therefore \frac{d}{dt} \left( \frac{1}{2} m v^2 \right) = 0 \Rightarrow \frac{1}{2} m v^2 = \text{અચળ}$$

**ઉદાહરણ 11 :** ધારો કે આકૃતિ (a)માં દર્શાવ્યા પ્રમાણે  $q$  વિદ્યુતભાર ધરાવતો  $m$  દળનો એક કણ X દિશામાં પ્રસ્થાપિત કરેલા નિયમિત ચુંબકીય ક્ષેત્રમાં ક્ષેત્ર સાથે  $\theta$  કોણે XZ સમતલમાં  $v$  વેગથી આપાત થાય છે. આ કણનો ગતિપથ હેલિકલ (સર્પિલ) છે, તેમ દર્શાવો અને આ પથની pitch (પેચ) શોધો.



(a)



(b)

**ઉકેલ :** વેગ  $v$  ના  $XZ$  સમતલમાં બે ઘટકો લેતાં,

$$v_z = v \sin\theta \text{ અને } v_x = v \cos\theta$$

હવે,  $v_x$  ઘટક ચુંબકીય ક્ષેત્રની દિશામાં જ હોવાથી  $qv_x \hat{i} \times B \hat{i} = 0$  મુજબ આ દિશામાં કણ પર કોઈ જ બળ નહિ લાગે. આથી,  $v_x = v \cos\theta$  જેટલા અચળ વેગથી  $X$  દિશામાં ગતિ ચાલુ રાખશે.

હવે,  $v_z$  ઘટકને લીધે લાગતું બળ  $= qv_z \hat{k} \times B \hat{i} = qv_z B \hat{j}$ . આ બળ સતત  $v_z$  ને લંબરૂપે લાગશે. પરિણામે  $v_z$  જેટલા રેખીય વેગથી  $YZ$  સમતલમાં કણ વર્તુળમય ગતિ કરશે.

$$\text{વર્તુળગતિ માટે કેન્દ્રગામી બળ, } \frac{mv_z^2}{r} = qv_z B$$

$$\therefore r = \frac{mv_z}{qB} = \frac{mv \sin\theta}{qB}$$

આમ, વર્તુળની ત્રિજ્યા આ સૂત્ર પ્રમાણે શોધી શકાય :

$$\text{આવર્તકાળ, } T = \frac{2\pi r}{v_z}$$

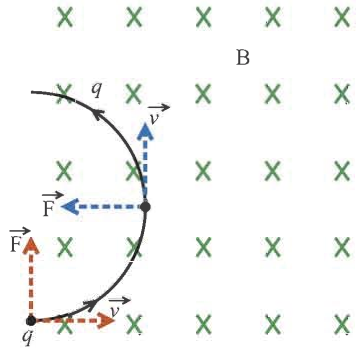
$$\therefore T = \frac{2\pi r}{v \sin\theta} = \frac{2\pi m}{qB}$$

આ આવર્તકાળ જેટલા સમયગાળામાં કણ  $X$  દિશામાં  $v_x T$  અંતર કાપે છે.

$$\therefore X \text{ દિશામાં કાપેલું અંતર} = \frac{2\pi m v_x}{qB} = \frac{2\pi m v \cos\theta}{qB}$$

ઉપર્યુક્ત ચર્ચા પરથી સ્પષ્ટ છે કે, કણ જેની અક્ષ  $X$  દિશામાં હોય તેવા helical (સર્પિલ) પથ પર ગતિ કરે છે. અહીં  $v_x T$  અંતરને helix ની pitch કહે છે. (જુઓ આકૃતિ (b)).

#### 4.8 સાઈક્લોટ્રોન (Cyclotron)



**આકૃતિ 4.15** ચુંબકીય ક્ષેત્રને લંબરૂપે પ્રવેશતા વિદ્યુતભારની ગતિ

ન્યુક્લિયસના બંધારણના અભ્યાસમાં ખૂબ જ (ગિંચી) વધારે ગતિ-ઊર્જા ધરાવતા કણોનું ન્યુક્લિયસ પર પ્રતાડન કરવું પડતું હોય છે. આવા અભ્યાસો માટે વિદ્યુતભારિત કણોને પ્રવેગિત કરવા પડે છે. આ માટે, ઈ. સ. 1934માં E.O. Lawrence અને M. S. Livingston વૈજ્ઞાનિકોએ સૌપ્રથમ સાઈક્લોટ્રોન બનાવ્યું હતું.

આ ઉપકરણમાં ચુંબકીય ક્ષેત્રમાં લંબરૂપે ગતિ કરતા વિદ્યુતભારિત કણ પર લાગતા બળનો ઉપયોગ કરવામાં આવે છે. તેથી તેની કાર્યપદ્ધતિ સમજવા માટે ચુંબકીય ક્ષેત્રમાં લંબરૂપે ગતિ કરતા કણની ગતિનો અભ્યાસ જરૂરી બને છે.

આકૃતિ 4.15માં  $\vec{B}$  પ્રેરણવાળા ચુંબકીય ક્ષેત્રમાં  $\vec{v}$  વેગથી ગતિ કરતા  $q$  વિદ્યુતભાર ધરાવતા કણ ધ્યાનમાં લો. અત્રે ચુંબકીય ક્ષેત્ર  $\vec{B}$  પુસ્તકના પાનને લંબરૂપે અંદર જતી દિશામાં છે. તથા કણ પુસ્તકના પાનના સમતલમાં ગતિ કરે છે.

આ કણ પર લાગતું ચુંબકીય બળ સમીકરણ (4.7.2) મુજબ  $\vec{F} = q(\vec{v} \times \vec{B})$  થાય.

આ બળનું મૂલ્ય  $qvB \sin\theta$  જેટલું હોય છે અને તેની દિશા  $\vec{v}$  અને  $\vec{B}$  થી બનતા સમતલને લંબ હોય છે. અત્રે કણ ચુંબકીય ક્ષેત્રને લંબરૂપે ગતિ કરતું હોવાથી આ બળનું મૂલ્ય  $qvB$  જેટલું છે. અત્રે સ્પષ્ટ છે કે આ સંજોગોમાં કણનો ગતિપથ વર્તુળાકાર બનશે. વળી, આ બળ દરેક ક્ષણે વેગને લંબદિશામાં લાગતું હોવાથી તેના મૂલ્યમાં કોઈ ફેરફાર થશે નહિ. માત્ર તેની દિશા સતત બદલાયા કરશે અને પરિણામે આ કણ નિયમિત વર્તુળાકાર ગતિ કરશે. આ ગતિ માટે જરૂરી કેન્દ્રગામી બળ એ ચુંબકીય બળ  $qvB$  છે. આમ,

$$\therefore qvB = \frac{mv^2}{r}$$

જ્યાં,  $m$  કણનું દળ તથા  $r$  વર્તુળાકાર માર્ગની ત્રિજ્યા છે.

$$\therefore r = \frac{mv}{qB} = \frac{p}{qB} \quad (4.8.1)$$

સમીકરણ (4.8.1) દર્શાવે છે કે કણના વર્તુળ માર્ગની ત્રિજ્યા કણના વેગમાન  $p = mv$  ને સમપ્રમાણ છે. જો કણનું વેગમાન વધે તો કણના ગતિ માર્ગની ત્રિજ્યા પણ વધે.

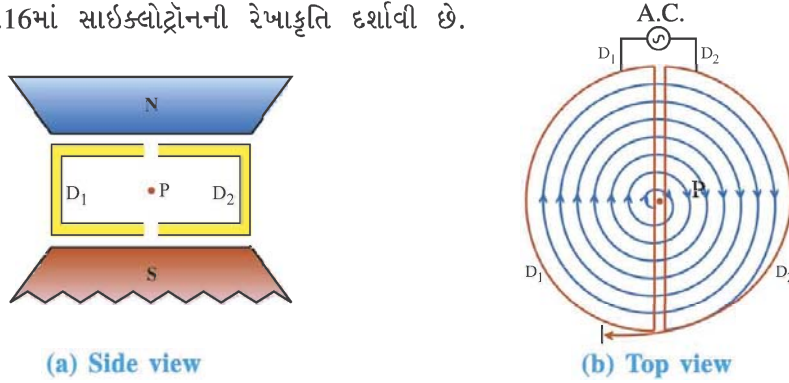
અત્રે વર્તુળાકાર ગતિ થતી હોવાથી  $v = r\omega_C$  લખી શકાય.  $\omega_C$  એ કણની કોણીય આવૃત્તિ છે જેને સાઈક્લોટ્રોનની કોણીય આવૃત્તિ કહેવામાં આવે છે. આ મૂલ્ય સમીકરણ (4.8.1) માં મૂકતાં,

$$r = \frac{m(\omega_C r)}{qB}$$

$$\therefore \omega_C = \frac{qB}{m} \quad (4.8.2)$$

અત્રે સ્પષ્ટ છે કે કણની કોણીય આવૃત્તિ  $\omega_C$  વેગમાન પર આધારિત નથી. તેથી કણનું રેખીય વેગમાન વધારતાં તેના વર્તુળ ગતિમાર્ગની ત્રિજ્યા જરૂર વધે પણ આવૃત્તિ  $\omega_C$  માં કોઈ જ ફેરફાર થાય નહિ. આ હકીકતનો ઉપયોગ સાઈક્લોટ્રોનની રચનામાં કરવામાં આવે છે.

આકૃતિ 4.16 માં સાઈક્લોટ્રોનની રેખાકૃતિ દર્શાવી છે.



આકૃતિ 4.16 સાઈક્લોટ્રોનની રેખાકૃતિ

**રચના :** સાઈક્લોટ્રોનમાં આકૃતિમાં દર્શાવ્યા અનુસાર અર્ધવર્તુળાકાર, અંગ્રેજી અક્ષર D આકારનાં બે પોલા બોક્સ તેમના વ્યાસ એકબીજાની સામસામે આવે અને તેમની વચ્ચે થોડી જગ્યા રહે તેમ ગોઠવવામાં આવે છે.

વળી, આકૃતિ 4.16 માં દર્શાવ્યા પ્રમાણે પ્રબળ વિદ્યુતચુંબકો એવી રીતે ગોઠવવામાં આવે છે કે આ બંને બોક્સ વડે ઘેરાતા અવકાશમાં નિયમિત ચુંબકીય ક્ષેત્ર ઉત્પન્ન થાય. આ બોક્સના આકાર D જેવા હોવાથી તેમને Dees કહે છે. બંને Dees વચ્ચે ઉચ્ચ આવૃત્તિવાળો A.C. વોલ્ટેજ લગાડવામાં આવે છે. સમગ્ર રચનાને એક શૂન્યાવકાશિત ચેમ્બરમાં મૂકવામાં આવે છે, જેથી વિદ્યુતભારની ગતિ દરમિયાન તેની હવાના કણો સાથેની સંભવિત અથડામણો નિવારી શકાય.

**કાર્ય :** ધારો કે  $t = 0$  સમયે બે P વચ્ચેના ગેપના મધ્યબિંદુ P પાસેથી વિદ્યુતભારિત કણને મુક્ત કરવામાં આવે છે. બરાબર આ સમયે ધારો કે કોઈ એક Dee ઋણ વિદ્યુતસ્થિતિમાને છે. મુક્ત થયેલ કણ જો ધન વીજભારિત હોય તો તે આ Dee તરફ આકર્ષાય છે. વળી, Dee વચ્ચેના અવકાશમાં ચુંબકીય ક્ષેત્ર હોવાથી આ કણ, ગેપમાં વર્તુળમાર્ગે ગતિ કરી Dee માં ચુંબકીય ક્ષેત્રને લંબરૂપે અમુક વેગમાન સાથે દાખલ થાય છે. હવે Dee માં તો વિદ્યુતક્ષેત્ર નથી, તેથી આ કણ પોતાના વેગમાન અનુસાર અમુક ત્રિજ્યાનો વર્તુળાકાર માર્ગ રચી ગતિ કરતો આગળ વધી, અર્ધવર્તુળ પૂરું કરી Dee માંથી બહાર આવે છે.

હવે, આ કણ Dee માંથી જે ક્ષણે બહાર આવે બરાબર તે જ ક્ષણે સામેનો Dee ઋણ સ્થિતિમાને આવી જાય, તો કણ બીજી Dee માં પ્રવેશે તે પહેલાં, ગેપમાંથી પસાર થતી વખતે વિદ્યુતક્ષેત્રને લીધે વેગમાન મેળવતો જાય છે. હવે તે બીજી Dee માં વધારે વેગમાન સાથે દાખલ થતો હોવાથી વધેલી ત્રિજ્યાવાળા વર્તુળમાર્ગ પર ગતિ કરે છે. હવે જ્યારે

વિદ્યુતપ્રવાહની ચુંબકીય અસરો

આ કણ બીજી Deeમાંથી બહાર નીકળે, ત્યારે તેની સામેની Dee પર ઋણ સ્થિતિમાન પ્રસ્થાપિત થાય, તો હવે તે આના કરતાં પણ વધારે ત્રિજ્યાના માર્ગ પર આ Deeમાં ગતિ કરે છે.

જો આ પ્રક્રિયાનું નિયમિત રીતે પુનરાવર્તન થયા કરે તો કણ ક્રમશઃ વધતી જતી ત્રિજ્યાઓના માર્ગ પર ગતિ કરતો જાય. પરંતુ, આ દરેક પરિભ્રમણ માટે આવૃત્તિ  $\omega_c$ નું મૂલ્ય તો અચળ જ રહે છે. આ પરિસ્થિતિ સાકાર કરી શકાય તે માટે AC વોલ્ટેજની આવૃત્તિ ( $f_{AC}$ ) કણની પરિભ્રમણની આવૃત્તિ ( $f_c$ ) જેટલી રાખવી જોઈએ. (અત્રે  $\omega_c = 2\pi f_c$ ). આ તો થયો અનુનાદ. ( $f_{AC} = f_c$ )

દરેક પરિભ્રમણ વખતે કણ A.C. વોલ્ટેજના કારણે ઊર્જા મેળવતો જાય છે અને જ્યારે તે Deeના પરિધ નજીક પહોંચે છે, ત્યારે તેણે મહત્તમ ગતિ-ઊર્જા પ્રાપ્ત કરી હોય છે.

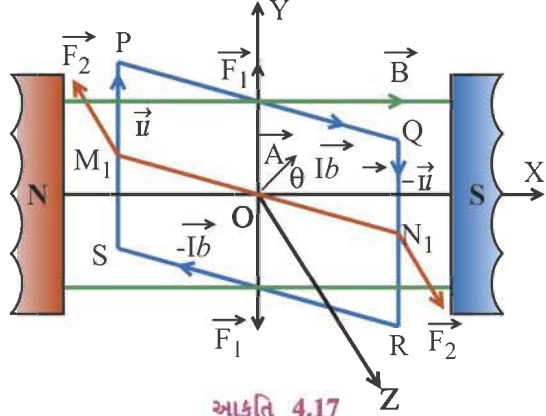
હવે આ કણોને કોઈ ટાર્ગેટ (Target) પર અથડાવવા હોય, તો તેમને Deeમાંથી બહાર કાઢવા માટે આ માટે આકૃતિ 4.16 (b)માં દર્શાવ્યા પ્રમાણે કણ જ્યારે Deeના પરિધ પર આવે છે ત્યારે, એક વધારાના ચુંબકીય ક્ષેત્ર વડે તેને વિચલિત કરી Deeમાંથી બહાર ખેંચી લેવામાં આવે છે અને યોગ્ય રીતે ગોઠવેલા Target પર પ્રતાડન કરીને તે Target પરના ન્યુક્લિયસ પર અથડામણ ઊપજાવી શકાય છે.

ઉપર્યુક્ત ચર્ચામાં આપણે ધન વીજભારિત કણ (દા.ત., પ્રોટોન, ધન આયનો)ની વાત કરી. ન્યુક્લિયર પ્રક્રિયાઓનો અભ્યાસ કરવા માટે, કૃત્રિમ રેડિયો એક્ટીવ તત્ત્વો તૈયાર કરવા માટે, કેન્સર જેવાં દર્દોની સારવાર માટે અને ધન પદાર્થોમાં આયન ઇમ્પ્લાન્ટેશન કરવા માટે આવા પ્રવેગિત કણો ઉપયોગમાં લઈ શકાય છે.

**મર્યાદા :** જો કણોનો વેગ ક્રમશઃ વધી પ્રકાશના વેગની નજીક જતો જાય, તો સાપેક્ષવાદ અનુસાર કણનું દળ અચળ રહેવાને બદલે વધે છે. આ સ્થિતિમાં અનુનાદની શરત ( $f_{AC} = f_c$ ) જળવાતી નથી.

ઇલેક્ટ્રોન જેવા હલકા કણોને પ્રવેગત કરવા માટે AC વોલ્ટેજની આવૃત્તિ ખૂબ મોટી (GHzના ક્રમની) રાખવી પડે છે. વળી Deeનું કદ પણ મોટું હોવાથી, મોટા વિસ્તારમાં ચુંબકીયક્ષેત્રને નિયમિત અને અચળ રાખવું મુશ્કેલ પડે છે. આથી સિન્ક્રોટ્રોન (Synchrotron) જેવાં પ્રવેગક સાધનો વિકસાવવામાં આવ્યાં છે.

#### 4.9 નિયમિત ચુંબકીય ક્ષેત્રમાં રાખેલ વિદ્યુતપ્રવાહધારિત, ગૂંચળા પર લાગતું ટોર્ક (Torque Acting on a Current Carrying Coil Kept in Uniform Magnetic Field)



આકૃતિ 4.17

(ધન Y દિશામાં) છે. તે જ પ્રમાણે RS વડે રચાતા પ્રવાહ-ખંડ પર લાગતું બળ,  $\vec{F}_1' = I\vec{b} \times \vec{B}$  (ઋણ Y દિશામાં) છે.

અત્રે  $\vec{F}_1$  અને  $\vec{F}_1'$  સમાન મૂલ્ય અને પરસ્પર વિરુદ્ધ દિશામાં એકરેખસ્થ હોવાથી એકબીજાની અસર નાબૂદ કરે છે.

હવે, QR બાજુ વડે રચાતો વિદ્યુતપ્રવાહ-ખંડ  $= -I\vec{j}$  ધ્યાનમાં લો. તેના પર લાગતું બળ,

$$\vec{F}_2 = -I\vec{j} \times \vec{B}\hat{i} = -I/B (\vec{j} \times \hat{i}) = I/B\hat{k} \quad (4.9.1)$$

આ બળ ધન Z-દિશામાં છે.

આ જ પ્રમાણે SP બાજુ વડે રચાતા વિદ્યુતપ્રવાહ-ખંડ  $= I\vec{j}$  અને તેના પર લાગતું બળ

$$\vec{F}_2 = I\vec{j} \times \vec{B}\hat{i} = -I/B\hat{k} \quad (4.9.2)$$

આ બળ ઋણ Z દિશામાં છે.

આકૃતિ 4.17માં દર્શાવ્યા પ્રમાણે ચુંબકના બે ધ્રુવો N અને S વચ્ચે સમાન ચુંબકીય ક્ષેત્ર  $\vec{B}$ માં I જેટલો વિદ્યુતપ્રવાહ ધરાવતા, l અને b લંબાઈની બાજુઓવાળા લંબચોરસ ગૂંચળાને રાખેલ છે. અહીં PQ = b અને QR = l છે. અત્રે ચુંબકીય ક્ષેત્ર  $\vec{B}$ , X દિશામાં છે.

$$\therefore \vec{B} = B\hat{i}$$

હવે PQ બાજુ વડે રચાતો વિદ્યુતપ્રવાહ-ખંડ  $= I\vec{b}$  થશે.

આ પ્રવાહ-ખંડ પર લાગતું બળ,  $\vec{F}_1 = I\vec{b} \times \vec{B}$ .



સમીકરણ (4.9.1) અને (4.9.2) પરથી  $|\vec{F}_2| = |\vec{F}_2'|$

આકૃતિ 4.17 પરથી સ્પષ્ટ છે કે આ બળો પરસ્પર વિરુદ્ધ દિશામાં છે. પરંતુ એકરેખીય નથી, આથી આ બળોનું જોડકું બળયુગ્મ (couple or couple of force) રચે છે.

ઋણ Y દિશામાં દૃષ્ટિ રાખી ગૂંચળાને ઉપરથી જોતાં  $\vec{F}_2$ ,  $\vec{F}_2'$ ,  $\vec{A}$  અને X-અક્ષની સ્થિતિ આકૃતિ 4.18માં દર્શાવ્યા મુજબ હોય છે. અત્રે  $\vec{A}$  ગૂંચળાના સમતલના ક્ષેત્રફળને રજૂ કરતો સદિશ છે, જે  $\vec{B}$  સાથે  $\theta$  કોણ બનાવે છે.

આથી ગૂંચળા પર લાગતું,

ટોર્ક (બળયુગ્મની ચાકમાત્રા) = (એક બળનું માન) (બંને બળો વચ્ચેનું લંબઅંતર)

અત્રે બંને બળો વચ્ચેનું લંબઅંતર (આકૃતિ 4.18 પરથી)

$$M'N' = 2 \frac{b}{2} \cos\left(\frac{\pi}{2} - \theta\right) = b \sin\theta \quad (4.9.3)$$

$$\therefore \text{ટોર્ક } |\vec{\tau}| = |\vec{F}_2| (M'N') = (IB)(b \sin\theta) \quad (4.9.4)$$

$$\therefore |\vec{\tau}| = IAB \sin\theta$$

જ્યાં  $Ib = A$  ગૂંચળાનું ક્ષેત્રફળ છે.

N આંટાવાળા ગૂંચળા માટે

$$|\vec{\tau}| = NIAB \sin\theta \quad (4.9.5)$$

જો ગૂંચળાના ક્ષેત્રફળ A ને સદિશ વડે દર્શાવીએ તો સમીકરણ (4.9.5) સદિશસ્વરૂપે નીચે પ્રમાણે લખી શકાય :

$$\vec{\tau} = NI\vec{A} \times \vec{B} \quad (4.9.6)$$

આ ટોર્ક ઋણ Y દિશામાં છે.

$NI\vec{A}$  ને ગૂંચળા સાથે સંકળાયેલ ચુંબકીય ડાઇપોલ-મોમેન્ટ (Magnetic Dipolemoment)  $\vec{\mu}$  કહે છે.

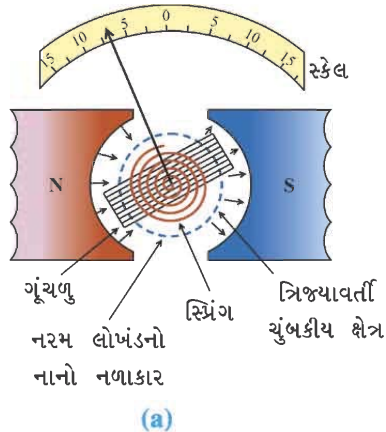
$$\vec{\tau} = \vec{\mu} \times \vec{B} \quad (4.9.7)$$

$\vec{\mu}$  ની દિશા જમણા હાથના સ્કૂના નિયમ પરથી શોધી શકાય. એટલે કે જમણા હાથના સ્કૂને ગૂંચળાના સમતલને

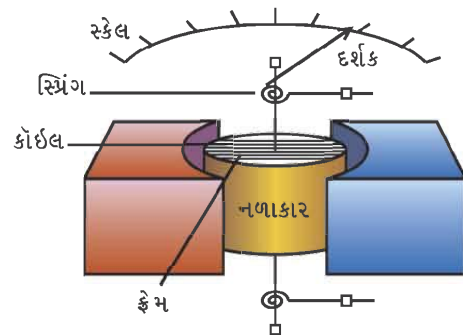
લંબરૂપે મૂકી તેને વિદ્યુતપ્રવાહની દિશામાં ફેરવતાં જે દિશામાં તે ખસે તે દિશામાં  $\vec{\mu}$  હોય છે. સમીકરણ (4.9.7) ગમે તે આકારના ગૂંચળા માટે સાચું છે.

#### 4.10 ગેલ્વેનોમીટર (Galvanometer)

સૂક્ષ્મ વિદ્યુતપ્રવાહના માપન અને તેની હાજરીની નોંધ લેવા માટે ગેલ્વેનોમીટરનો ઉપયોગ થાય છે.



(a)



(b)

(માત્ર જાણકારી માટે)

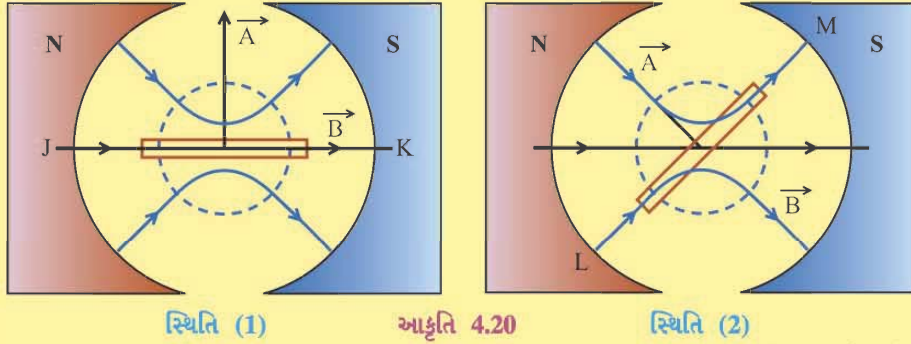
આકૃતિ 4.19 ગેલ્વેનોમીટરની રચના

આકૃતિ 4.19માં ચલિત (Moving) અને કિલકિત (Pivoted) ગૂંચળાવાળા ગેલ્વેનોમીટરને દર્શાવ્યું છે. ગેલ્વેનોમીટરમાં સ્થાયી લોહચુંબકના બે નળાકાર ધ્રુવો વચ્ચે હલકી (બિનચુંબકીય) લંબચોરસ ફેમ પર તાંબાના પાતળા (અલગ કરેલા) તાર વીંટાળીને બનાવેલું ગૂંચળું ઘર્ષણરહિત આધારો પર ભ્રમણ કરી શકે તેમ ગોઠવવામાં આવે છે. કેન્દ્રવર્તી સમાન ચુંબકીય ક્ષેત્ર ઉત્પન્ન કરવા માટે ગૂંચળાની અક્ષ પર, ગૂંચળાને અડકે નહિ તે રીતે, નરમ લોખંડનો નાનો નળાકાર રાખવામાં આવે છે. ગૂંચળામાંથી વિદ્યુતપ્રવાહ પસાર કરતાં ચુંબકીય ક્ષેત્રને કારણે તેના (ગૂંચળા) પર ટોર્ક લાગે છે અને ગૂંચળું સ્થિર કોણાવર્તન દર્શાવે છે. ગૂંચળાનું સ્થિર કોણાવર્તન ગૂંચળા સાથે જોડેલા દર્શકની (Pointer) મદદથી શોધી શકાય છે. અત્રે દર્શક યોગ્ય સ્કેલ પર ફરી શકે તેવી ગોઠવણ કરેલી હોય છે. દર્શકના સ્કેલ પરના સ્થાન પરથી ગૂંચળામાંથી પસાર થતા વિદ્યુતપ્રવાહના માપની જાણકારી મેળવી શકાય છે.

**સિદ્ધાંત અને કાર્ય :** જો ગૂંચળાના ક્ષેત્રફળ રજૂ કરતો સદિશ ચુંબકીય ક્ષેત્ર સાથે  $\theta$  કોણ રચતો હોય તો ગૂંચળા પર લાગતું ટોર્ક  $\tau = NIAB \sin \theta$  (4.10.1)

(જ્યાં,  $N$  = ગૂંચળાની આંટાઓની સંખ્યા)

(માત્ર જાણકારી માટે : પ્રસ્તુત કિસ્સામાં ચુંબકીય ક્ષેત્ર ત્રિજ્યાવર્તી છે.)



આકૃતિ 4.20માં નરમ લોખંડના નળાકારની હાજરીમાં મળતું ત્રિજ્યાવર્તી ચુંબકીય ક્ષેત્ર દર્શાવ્યું છે. અહીં સરળતા માટે થોડીક જ ક્ષેત્રરેખાઓ દર્શાવી છે. હવે ગૂંચળું જ્યારે સ્થિતિ (1)માં હોય ત્યારે માત્ર JK ક્ષેત્રરેખા અસરકારક હોય છે. આ સ્થિતિમાં ગૂંચળાના ક્ષેત્રફળ  $\vec{A}$  ચુંબકીય ક્ષેત્રરેખા  $\vec{B}$  વચ્ચેનો કોણ  $90^\circ$ .

તેવી જ રીતે જ્યારે ગૂંચળું સ્થિતિ (2)માં હોય ત્યારે LM ક્ષેત્રરેખા અસરકારક બને છે અને તે સ્થિતિમાં પણ  $\vec{A}$  અને  $\vec{B}$  વચ્ચેનો કોણ  $90^\circ$ નો છે. આમ, ગૂંચળાના કોઈ પણ કોણાવર્તન માટે  $\vec{A}$  અને  $\vec{B}$  વચ્ચેનો કોણ  $90^\circ$  રહે છે.

ગૂંચળાની કોઈ પણ કોણીય સ્થિતિમાં, ત્રિજ્યાવર્તી ચુંબકીય ક્ષેત્રને કારણે  $\vec{A}$  અને  $\vec{B}$  વચ્ચેનો કોણ  $90^\circ$ નો રહે છે.

$$\therefore \tau = NIAB, \quad (4.10.2)$$

જેને આવર્તક ટોર્ક (જેના લીધે ગૂંચળું આવર્તન પામે છે) કહે છે.

ગૂંચળાના કોણાવર્તનને લીધે તેના છેડા પર રહેલી સ્પ્રિંગોમાં પુનઃસ્થાપક ટોર્ક ઉદ્ભવે છે, જેનું મૂલ્ય ગૂંચળાના કોણાવર્તન (ધારો કે  $\phi$ )ના સમપ્રમાણમાં હોય છે.

$$\therefore \tau (\text{પુનઃસ્થાપક ટોર્ક}) = k\phi \quad (4.10.3)$$

અત્રે  $k$  એ સ્પ્રિંગોનો અસરકારક વળ-અચળાંક છે.

જો ગૂંચળું  $\phi$  જેટલું કોણાવર્તન કરી સ્થિર થતું હોય, તો આવર્તક ટોર્ક = પુનઃસ્થાપક ટોર્ક થાય.

$$NIAB = k\phi$$

$$\therefore I = \left[ \frac{k}{NAB} \right] \phi \quad (4.10.4)$$

$$\therefore I \propto \phi \quad (4.10.5)$$

ગેલ્વેનોમીટરના સ્કેલનું યોગ્ય અંકન કરી  $\phi$  જાણવાથી  $I$  શોધી શકાય છે.

સમીકરણ (4.10.5) પરથી,

$$\frac{\phi}{I} = \frac{NAB}{k} \quad (4.10.6)$$

જ્યાં,  $\frac{\phi}{I}$  ને ગેલ્વેનોમીટરની પ્રવાહ-સંવેદિતા (S) કહે છે. આમ, એકમપ્રવાહ દીઠ મળતા આવર્તનને ગેલ્વેનોમીટરની પ્રવાહ-સંવેદિતા કહે છે. પ્રવાહ-સંવેદિતા વધારવા માટેના એક ઉપાય તરીકે વધુ પ્રબળ ચુંબકીય ક્ષેત્ર  $\vec{B}$  નો ઉપયોગ કરવો જોઈએ.

અતિ સૂક્ષ્મ વિદ્યુતપ્રવાહ ( $10^{-11}$  A ના ક્રમના) વિદ્યુતપ્રવાહો માપવા માટે સ્થિતિસ્થાપક તાર વડે લટકાવેલા ગૂંચળાવાળા ગેલ્વેનોમીટર વપરાય છે.

#### 4.10.1 વિદ્યુતપ્રવાહ અને વિદ્યુતસ્થિતિમાનના તફાવતનું માપન (Measurement of Electric Current અને Potential Difference)

કોઈ પણ વિદ્યુતપરિપથ (સર્કિટ)માંના ઘટક સાથે સંકળાયેલા પ્રાયલો જેવા કે તેમાંથી પસાર થતો વિદ્યુતપ્રવાહ તેમજ તેના બે છેડા વચ્ચેનો વિદ્યુતસ્થિતિમાનનો તફાવત (વોલ્ટેજ) માપવાની જરૂરિયાત ઊભી થતી હોય છે. આ રાશિઓ માપવા માટેનાં ઉપકરણોને અનુક્રમે એમીટર અને વોલ્ટમીટર તરીકે ઓળખવામાં આવે છે. વિદ્યુતપ્રવાહ કે વોલ્ટેજ માપવા માટે પાયાનું ઉપકરણ તે ગેલ્વેનોમીટર છે.

##### 4.10.1 (a) એમીટર (Ammeter)

વિદ્યુતપ્રવાહ માપવા માટે જે ઘટકમાંથી વહેતો વિદ્યુતપ્રવાહ માપવો હોય તેની સાથે ગેલ્વેનોમીટરને શ્રેણીમાં જોડવું પડે છે તેમજ ઘટકને બે છેડા વચ્ચેનો વિદ્યુતસ્થિતિમાનનો તફાવત માપવો હોય તો આ બે છેડા વચ્ચે ઘટકને સમાંતર ગેલ્વેનોમીટરને જોડવું પડે છે.

ગેલ્વેનોમીટરને વ્યવહારમાં સીધેસીધું એમીટર (પ્રવાહમાપક) તરીકે વાપરવામાં બે મુશ્કેલીઓ ઉદ્ભવે છે.

(1) સર્કિટના કોઈ ઘટકમાંથી વહેતો વિદ્યુતપ્રવાહ માપવા માટે પ્રવાહમાપકને તે ઘટક સાથે શ્રેણીમાં જોડવું પડે. ઉદાહરણ તરીકે આકૃતિ 4.21(a)માં દર્શાવેલ પરિપથમાં આવેલ અવરોધ Rમાંથી વહેતો વિદ્યુતપ્રવાહ માપવો છે. આ માટે પ્રવાહમાપકને આકૃતિ 4.21(b)માં દર્શાવ્યા મુજબ અવરોધ R સાથે શ્રેણીમાં જોડેલું છે. આ રીતે જોડાણ કરતાં ગેલ્વેનોમીટરનો અવરોધ પરિપથમાં ઉમેરાય છે અને પરિપથનો કુલ અવરોધ બદલાતાં, જે પ્રવાહ માપવો છે. તેનું મૂલ્ય જ બદલાઈ જાય છે. પરિણામે પ્રવાહનું સાચું મૂલ્ય મળતું નથી. આ હકીકત દર્શાવે છે કે પ્રવાહમાપકનો અવરોધ શક્ય તેટલો નાનો (સૈદ્ધાંતિક રીતે શૂન્ય) હોવો જોઈએ.

(2) આ ઉપરાંત ચલિત ગૂંચળાવાળા ગેલ્વેનોમીટર અત્યંત સંવેદનશીલ હોય છે. એક એમ્પિયરના ખૂબ જ નાના અંશ ( $10^{-6}$  A ના ક્રમનો) જેટલો પ્રવાહ તેમાંથી પસાર કરતાં તેમનું પૂર્ણ સ્કેલ આવર્તન થઈ જાય છે.

જે પ્રવાહ માટે ગેલ્વેનોમીટર પૂર્ણસ્કેલ આવર્તન દર્શાવે તેને ગેલ્વેનોમીટરની પ્રવાહક્ષમતા ( $I_G$ ) કહે છે. આથી ગેલ્વેનોમીટરનો ઉપયોગ તેની પ્રવાહક્ષમતા  $I_G$  કરતાં વધારે પ્રવાહના માપન માટે કરવાથી તેને નુકસાન થવાની શક્યતા રહે છે.

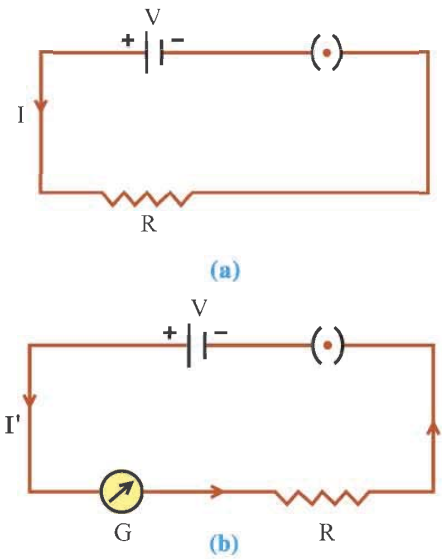
ઉપરાંત તેની કોઈલના તાંબાના પાતળા તારમાં વધુ પડતો વિદ્યુતપ્રવાહ પસાર થવાથી  $I^2 R t$  મુજબ ઉષ્મા ઉત્પન્ન થવાથી તે બળી જવાની સંભાવના રહે છે.

ઉપર્યુક્ત મુશ્કેલીઓનું નિવારણ કરવા ગેલ્વેનોમીટરના ગૂંચળાને સમાંતર યોગ્ય મૂલ્યનો લઘુ અવરોધ જોડવામાં આવે છે. આ અવરોધને શંટ (Shunt) કહે છે. શંટનું મૂલ્ય ગેલ્વેનોમીટરના અવરોધ (G) કરતાં ઘણું નાનું હોવાથી મોટા ભાગનો પ્રવાહ શંટમાંથી પસાર થાય છે અને ગેલ્વેનોમીટરને નુકસાન થતું નથી.

વળી, શંટ અને ગેલ્વેનોમીટરના અવરોધો પરસ્પર સમાંતર હોવાથી તેમનો સમતુલ્ય અવરોધ શંટના મૂલ્ય કરતાં પણ ઓછો થઈ જાય છે. આમ શંટ જોડ્યા પછી બનતા પ્રવાહમાપકનો અવરોધ ઘણો નાનો થઈ જાય છે. પરિણામે ઉપર્યુક્ત બંને મુશ્કેલીઓનું નિવારણ થાય છે.

યોગ્ય શંટ જોડ્યા પછી બનતા સાધનમાંથી જ્ઞાત વિદ્યુતપ્રવાહો પસાર કરી તેના સ્કેલનું એમ્પિયર, મિલિએમ્પિયર કે માઈક્રોએમ્પિયરમાં અંકન calibration કરવામાં આવે છે. આ રીતે તૈયાર થતું પ્રવાહમાપક અનુક્રમે એમીટર, (મિલિ એમીટર કે માઈક્રોએમીટર) કહેવાય છે. આ માટે શંટના મૂલ્ય માટેનું સૂત્ર નીચે મુજબ મળી શકે છે :

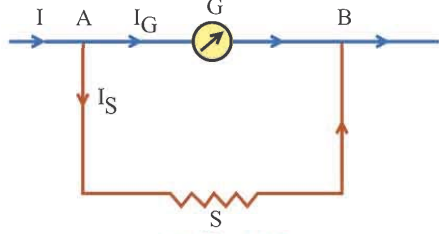
વિદ્યુતપ્રવાહની ચુંબકીય અસરો



આકૃતિ 4.21

**શંટનું સૂત્ર :** ધારો કે,  $G$  અવરોધવાળા અને  $I_G$  પ્રવાહક્ષમતા ધરાવતા ગેલ્વેનોમીટરનું  $I$  જેટલા મહત્તમ વિદ્યુતપ્રવાહ મળી શકે તેવા એમીટરમાં રૂપાંતર કરવું છે. આ માટે ધારો કે જરૂરી શંટનું મૂલ્ય  $S$  છે. અહીં શંટ એવો પસંદ કરવો જોઈએ કે  $I$  જેટલા પ્રવાહમાંથી  $I_G$  જેટલો પ્રવાહ ગેલ્વેનોમીટરમાંથી અને  $I_S = I - I_G$  જેટલો પ્રવાહ શંટમાંથી પસાર થાય. આકૃતિ 4.22 માં આ સ્થિતિ દર્શાવી છે.

જંકશન A પાસે કિર્ચોફનો પ્રથમ નિયમ વાપરતાં,



$$I = I_G + I_S \quad (4.10.7)$$

ASBGA માર્ગ પર કિર્ચોફના બીજા નિયમ અનુસાર,

$$-I_G G + I_S S = 0$$

$$\therefore S = \frac{GI_G}{I_S}$$

આકૃતિ 4.22

સમીકરણ 4.10.7 પરથી,  $I_S = I - I_G$

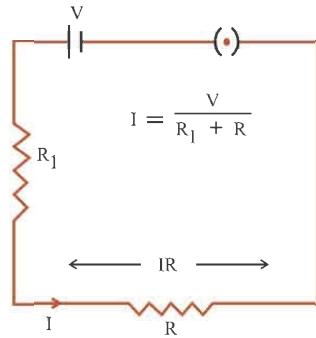
$$\therefore S = \frac{GI_G}{I - I_G} \quad (4.10.8)$$

જે શંટનું જરૂરી સૂત્ર છે. જે પરથી સ્પષ્ટ છે કે એમીટરની રેન્જ (પ્રવાહક્ષમતા) વધુ ને વધુ મોટી કરવા માટે જરૂરી શંટનું મૂલ્ય નાનું ને નાનું કરવું પડે. એમીટરની પ્રવાહક્ષમતા  $n$  ગણી કરવા માટે જરૂરી શંટ  $S = \frac{G}{n-1}$ , થશે તે ચકાસી જુઓ.

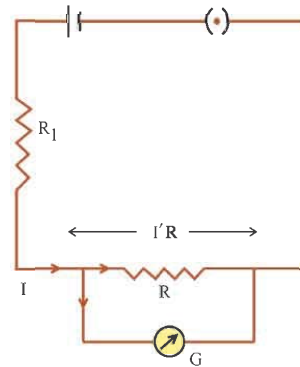
**4.10.1 (b) વોલ્ટમીટર (Voltmeter) :** સર્કિટના કોઈ ઘટકના બે છેડા વચ્ચેના વિદ્યુતસ્થિતિમાનના તફાવત (વોલ્ટેજ)ને માપવા માટેના ઉપકરણને વોલ્ટમીટર કહે છે. આ માટે વોલ્ટમીટરને આ ઘટકની સાથે સમાંતરે જોડવામાં આવે છે. ધારો કે આકૃતિ 4.23 (a) માં દર્શાવેલ અવરોધ  $R$ ના બે છેડા વચ્ચેનો વોલ્ટેજ માપવો છે. આ માટે વોલ્ટમીટર તરીકે  $G$  અવરોધ અને  $I_G$  પ્રવાહ ક્ષમતાવાળું ગેલ્વેનોમીટર વાપરવામાં આવે, તો તેમાં મુશ્કેલીઓ પડે છે. આકૃતિ 4.23(b) મુજબ ગેલ્વેનોમીટરને સર્કિટમાં આ રીતે જોડતાં સર્કિટનો કુલ અવરોધ,

$$R' = R_1 + \frac{RG}{R+G} \quad (4.10.9)$$

થાય છે.



(a)



(b)

આકૃતિ 4.23

પરિણામસ્વરૂપ ગેલ્વેનોમીટરને જોડ્યા બાદ સર્કિટનો અવરોધ બદલાઈ જતાં  $R$ માંથી પસાર થતો વિદ્યુતપ્રવાહ પણ બદલાઈ જાય છે. આમ, અવરોધ  $R$ ના બે છેડા વચ્ચે વિદ્યુતસ્થિતિમાનનો તફાવત  $= IR$  (કે જે માપવાનો છે)નું મૂલ્ય બદલાઈ જાય છે.

જો  $G$ નું મૂલ્ય ખૂબ મોટું હોય તો  $R + G$ માં  $G$ ની સરખામણીમાં  $R$ ને અવગણતાં

$$R' = R_1 + \frac{RG}{R+G} = R_1 + R \quad (4.10.10)$$

આ સ્થિતિમાં પરિપથનો અવરોધ ખાસ બદલાતો નથી, ત્યાં  $G$ નું મૂલ્ય મોટું હોવાથી મોટા ભાગનો પ્રવાહ  $R$  માંથી પસાર થતાં  $IR$ નું મૂલ્ય જળવાઈ રહે છે.

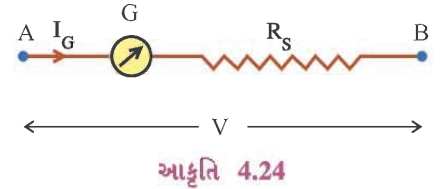
ઉપર્યુક્ત ચર્ચા દર્શાવે છે કે વિદ્યુતસ્થિતિમાનનો તફાવત માપન કરતાં ઉપકરણનો અવરોધ શક્ય તેટલો મોટો (સૈદ્ધાંતિક રીતે અનંત) હોવો જોઈએ. આમ, ગેલ્વેનોમીટર સાથે શ્રેણીમાં યોગ્ય મોટો અવરોધ જોડી વોલ્ટમીટરમાં રૂપાંતર કરી શકાય. અહીં, અવરોધ મોટો હોવાથી ગેલ્વેનોમીટરમાંથી પસાર થતો વિદ્યુતપ્રવાહ ખૂબ જ ઓછો હોય છે અને તેને નુકસાન થવાનો ભય રહેતો નથી.

ગેલ્વેનોમીટર વડે માપી શકાતા મહત્તમ વોલ્ટેજને ગેલ્વેનોમીટરની વોલ્ટેજક્ષમતા ( $I_G G$ ) કહે છે.

**શ્રેણી અવરોધનું સૂત્ર :** ધારો કે ગેલ્વેનોમીટરનો અવરોધ  $G$  અને તેની પ્રવાહક્ષમતા  $I_G$  છે, તેથી તેની વોલ્ટેજક્ષમતા  $I_G G$  થશે. આ ગેલ્વેનોમીટરને  $V$  વોલ્ટ જેટલો મહત્તમ વિદ્યુતસ્થિતિમાનનો તફાવત માપી શકે તેવા વોલ્ટમીટરમાં ફેરવવું છે. આ માટે જરૂરી શ્રેણી અવરોધનું મૂલ્ય ધારો કે  $R_S$  છે. આકૃતિ 4.24 માં જો  $A$  અને  $B$  વચ્ચે વિદ્યુતસ્થિતિમાનનો તફાવત  $= V$  હોય તો તેમની વચ્ચે (તેમને સમાંતરે) ગેલ્વેનોમીટર અને  $R_S$  શ્રેણીમાં જોડતાં ગેલ્વેનોમીટરનું પૂર્ણસ્કેલ આવર્તન થશે. એટલે કે તેમાંથી  $I_G$  જેટલો વિદ્યુતપ્રવાહ પસાર થશે. આકૃતિ પરથી,

$$I_G G + I_G R_S = V$$

$$\therefore R_S = \frac{V}{I_G} - G \quad (4.10.11)$$



આ સૂત્ર વડે મળતો અવરોધ આપેલા ગેલ્વેનોમીટર સાથે શ્રેણીમાં જોડી ગેલ્વેનોમીટરના સ્કેલનું યોગ્ય અંકન કરવાથી વોલ્ટમીટર તૈયાર કરી શકાય છે. સમીકરણ (4.10.11) પરથી સ્પષ્ટ છે કે વોલ્ટમીટરની રેન્જ વધુ ને વધુ મોટી કરવા માટે શ્રેણી-અવરોધ ( $R_S$ ) નું મૂલ્ય વધુ ને વધુ મોટું લેવું પડે. વોલ્ટમીટરની વોલ્ટેજક્ષમતા  $n$  ગણી કરવા માટે જરૂરી શ્રેણી-અવરોધ  $R_S = (n - 1)G$  થશે, તેમ જાતે ચકાસી જુઓ.

સમીકરણ 4.10.6ને બંને બાજુ વોલ્ટમીટરના અવરોધ  $R$  વડે ભાગતાં,

$$\frac{\phi}{IR} = \frac{NAB}{k} \frac{1}{R}$$

$$\therefore \frac{\phi}{V} = \frac{NAB}{kR} \quad (4.10.12)$$

અહીં,  $\frac{\phi}{V}$  ને વોલ્ટમીટરની સંવેદિતા ( $S_V$ ) કહે છે.

**ઉદાહરણ 12 :** એક ગેલ્વેનોમીટરના ડાયલ પર 21 કાપાઓ (શૂન્યથી 20) એટલે કે 20 વિભાગો (divisions) છે. તેમાં  $10 \mu A$  પ્રવાહ પસાર કરતાં તેનું 1 division જેટલું આવર્તન થાય છે. તેનો અવરોધ  $20 \Omega$  છે, તો તેને (a) 1 A પ્રવાહ માપી શકે તેવા એમીટરમાં કેવી રીતે ફેરવશો ? (b) હવે મૂળ ગેલ્વેનોમીટરને 1 V વીજસ્થિતિમાનનો તફાવત માપે તેવા વોલ્ટમીટરમાં કેવી રીતે ફેરવશો ? તથા ઉપર્યુક્ત બંને મીટરનો અસરકારક અવરોધ શોધો.

**ઉકેલ :** (a) જ્યારે ગેલ્વેનોમીટરમાંથી  $10 \mu A$  પ્રવાહ પસાર થાય છે, ત્યારે તેના દર્શકનું 1 division જેટલું કોણાવર્તન થાય છે. આ ગેલ્વેનોમીટરમાં 20 divisions છે.

$$\therefore \text{તેના વડે મપાતો મહત્તમ પ્રવાહ (પ્રવાહક્ષમતા) } I_G = 10 \times 10^{-6} \times 20 = 200 \times 10^{-6} A.$$

એમીટર માટે ગેલ્વેનોમીટરને સમાંતરે જરૂરી શંટનું સૂત્ર



$$\begin{aligned}
S &= \frac{GI_G}{I - I_G} & I_G &= 200 \times 10^{-6} \text{ A} = 2 \times 10^{-4} \text{ A} \\
&= \frac{20 \times 200 \times 10^{-6}}{10000 \times 10^{-4} - 2 \times 10^{-4}} & G &= 20 \, \Omega \\
&= \frac{20 \times 2 \times 10^{-4}}{10000 \times 10^{-4} - 2 \times 10^{-4}} & I &= 1 \text{ A} = 10000 \times 10^{-4} \text{ A} \\
&= \frac{40}{9998} \approx 0.004 \, \Omega
\end{aligned}$$

1 A પ્રવાહ માપી શકે તેવા એમીટરમાં ફેરવવા માટે  $0.004 \, \Omega$  જો શંટ જોડવો જોઈએ.

આ એમીટરનો અસરકારક અવરોધ  $G' = \frac{G \times S}{G + S}$  ( $G$  અને  $S$  સમાંતર છે.)

$$G' = \frac{20 \times 0.004}{20 + 0.004} \approx 0.004 \, \Omega$$

**(b) વોલ્ટમીટર માટે :** ગેલ્વેનોમીટરને વોલ્ટમીટરમાં રૂપાંતરિત કરવા જરૂરી શ્રેણી-અવરોધનું સૂત્ર અત્રે,  $V = 1 \text{ volt}$

$$\begin{aligned}
R_S &= \frac{V}{I_G} - G & I_G &= 2 \times 10^{-4} \text{ A} \\
&= \frac{1}{2 \times 10^{-4}} - 20 & G &= 20 \, \Omega \\
&= 0.5 \times 10^4 - 20 \\
&= 5000 - 20 \\
&= 4980 \, \Omega
\end{aligned}$$

આ ગેલ્વેનોમીટરને 1 વોલ્ટ માપી શકે તેવા વોલ્ટમીટરમાં ફેરવવા માટે તેની સાથે શ્રેણીમાં  $4980 \, \Omega$ નો અવરોધ જોડવો જોઈએ.

આ વોલ્ટમીટરનો અસરકારક અવરોધ  $R'_S = R_S + G$

$$\therefore R'_S = 4980 + 20 = 5000 \, \Omega$$

( $\because R_S$  અને  $G$  શ્રેણીમાં છે.)

#### સારાંશ

- ૧. ઑર્સ્ટેડનું અવલોકન :** “ચુંબકીય સોયને સમાંતર સોયની નીચે રાખેલા વાહક તારમાંથી વિદ્યુતપ્રવાહ પસાર કરતાં ચુંબકીય સોય કોણાવર્તન પામે છે.”
- ૨. બાયો-સાવરનો નિયમ :**  $I \vec{dl}$  જેટલા વિદ્યુતપ્રવાહ-ખંડને લીધે ખંડની સાપેક્ષે  $\vec{r}$  સ્થાનસદિશ ધરાવતા બિંદુએ ચુંબકીય ક્ષેત્ર

$$\vec{dB} = \frac{\mu_0}{4\pi} \frac{I \vec{dl} \times \hat{r}}{r^2}$$

સમગ્ર તારમાં આવા ખંડો સતત રીતે પથરાયેલા હોવાથી આવા તારને લીધે મળતું ચુંબકીય ક્ષેત્ર  $\vec{B}$  રેખા-સંકલનના સ્વરૂપમાં લખી શકાય.

$$\vec{B} = \int \vec{dB} = \frac{\mu_0 I}{4\pi} \int \frac{\vec{dl} \times \hat{r}}{r^2}$$

$$\text{અથવા } \vec{B} = \frac{\mu_0 I}{4\pi} \int \frac{\vec{dl} \times \vec{r}}{r^3}$$

અત્રે રેખા-સંકલન વાહક તારથી બનતા સમગ્ર પરિપથ પર છે.



3.  $a$  ત્રિજ્યાવાળા  $N$  આંટાવાળા  $I$  પ્રવાહક્ષમતા ધરાવતા વર્તુળાકાર ગૂંચળાની (રિંગ) ભૌમિતિક અક્ષ પર કેન્દ્રથી  $x$  અંતરે આવેલા કોઈ બિંદુ પાસે ચુંબકીય તીવ્રતાનું

$$B(x) = \frac{\mu_0 N I a^2}{2(a^2 + x^2)^{\frac{3}{2}}}$$

ગૂંચળાના કેન્દ્ર પર ચુંબકીય ક્ષેત્ર માટે  $x = 0$  લેતાં

$$B(\text{કેન્દ્ર}) = \frac{\mu_0 N I}{2a}$$

તથા કેન્દ્રથી અતિ દૂર આવેલા બિંદુ માટે  $x \gg a$  લેતાં

$$B(x) = \frac{\mu_0 N I a^2}{2x^2}$$

4. **એમ્પિયરનો સર્કિટલનો નિયમ :** “ચુંબકીય ક્ષેત્રમાં કોઈ બંધ વક્ર પરનું ચુંબકીય ક્ષેત્રનું રેખા-સંકલન, તે બંધ વક્ર દ્વારા ઘેરાતા વિદ્યુતપ્રવાહોના બૈજિક સરવાળા અને શૂન્યાવકાશની પરમીએબિલિટીના ગુણાકાર બરાબર હોય છે.”

સમીકરણસ્વરૂપે આ નિયમ નીચે મુજબ લખી શકાય :

$$\oint \vec{B} \cdot d\vec{l} = \mu_0 \Sigma I.$$

5. અતિ લાંબા પ્રવાહધારિત સુરેખ તારમાંથી  $I$  પ્રવાહ પસાર થતો હોય, તો તારથી  $r$  જેટલા લંબઅંતરે આવેલા બિંદુએ ચુંબકીય ક્ષેત્રનું સૂત્ર,

$$B = \frac{\mu_0 I}{2\pi r}$$

6. અતિ લાંબા પ્રવાહધારિત સોલેનોઇડની અક્ષ પરના બિંદુએ ચુંબકીય ક્ષેત્રનું મૂલ્ય

$$B = \mu_0 n I$$

જ્યાં  $n$  = સોલેનોઇડની એકમ લંબાઈ દીઠ આંટાઓની સંખ્યા છે.

7. ચુંબકીય ક્ષેત્ર  $\vec{B}$  માં  $l$  લંબાઈનો  $(I)$  પ્રવાહધારિત તાર મૂકવામાં આવે, તો તેના પર લાગતું બળ

$$\vec{F} = I \vec{l} \times \vec{B}$$
 થાય આ બળની દિશા સદિશ

ગુણાકાર માટેના જમણા હાથના સ્કૂની મદદથી નક્કી કરી શકાય છે.

8. બે અતિ લાંબા પ્રવાહધારિત તાર પર લાગતા બળનું મૂલ્ય,

$$F = \frac{\mu_0}{2\pi} \frac{I_1 I_2 l}{y},$$

જ્યાં  $l$  તારની લંબાઈ અને  $y$  બે તાર વચ્ચેનું લંબઅંતર છે.

જો તારમાં એક બીજાથી વિરુદ્ધ દિશામાં પ્રવાહ વહેતો હોય, તો તેમની વચ્ચે અપાકર્ષણ બળ ઉદ્ભવે છે અને એક જ દિશામાં પ્રવાહ વહેતો હોય, તો આકર્ષણબળ ઉદ્ભવે છે.

9. ચુંબકીય ક્ષેત્ર  $\vec{B}$  માં  $\vec{v}$  વેગથી ગતિ કરતા  $q$  વિદ્યુતભાર  $s$  પર લાગતું ચુંબકીય બળ,

$$\vec{F}_m = q(\vec{v} \times \vec{B})$$

વિદ્યુતક્ષેત્ર  $\vec{E}$  માં  $q$  વિદ્યુતભાર પર લાગતું બળ  $\vec{F}_e = q\vec{E}$

આથી, બંને ક્ષેત્રોની હાજરીમાં વિદ્યુતભાર પર લાગતું કુલ બળ,

$$\vec{F} = q[\vec{E} + (\vec{v} \times \vec{B})], \text{ જેને લોરેન્ડ્ઝ બળ કહે છે.}$$

10. સાર્થકલોદ્રોન વિદ્યુતભારિત કણોને પ્રવેગિત કરવા માટેનું યંત્ર છે. તેમાં ગતિ કરતા વિદ્યુતભારિત કણના વર્તુળ પથની ત્રિજ્યા,  $r = \frac{mv}{Bq}$ , જે વેગમાન આધારિત છે.

આ કણની કોણીય આવૃત્તિ ઓને સાર્થકલોદ્રોન-આવૃત્તિ ( $\omega_C$ ) કહે છે.

$$\omega_C = \frac{qB}{m} \text{ અથવા } f_C = \frac{qB}{2\pi m} \quad (\because \omega_C = 2\pi f_C)$$

11. સમાન ચુંબકીય ક્ષેત્રમાં લટકાવેલ પ્રવાહધારિત ગૂંચળા પર લાગતું ટોર્ક,

$$\vec{\tau} = NI\vec{A} \times \vec{B}$$

$\vec{\mu} = NI\vec{A}$  ને ચુંબકીય ડાઈપોલ-મોમેન્ટ કહે છે.

$$\therefore \vec{\tau} = \vec{\mu} \times \vec{B}$$

12. સૂક્ષ્મ વિદ્યુતપ્રવાહના માપન માટે ગેલ્વેનોમીટર વાપરવામાં આવે છે. ચલિત (moving) અને કિલકિત (pivoted) ગેલ્વેનોમીટરમાં,  $\tau = NIAB$ , જેને લીધે ગૂંચળું કોણાવર્તન અનુભવે છે અને તેની સાથે જોડેલી સ્પ્રિંગોમાં વળ ચડે છે અને પુનઃસ્થાપક ટોર્ક ઉત્પન્ન થાય છે.

$\therefore$  પુનઃસ્થાપક ટોર્ક  $\tau = k\phi$ .

સમતોલનમાં  $k\phi = NIBA$

$$\therefore I = \frac{k}{NBA} \phi$$

$$\therefore I \propto \phi$$

13. ગેલ્વેનોમીટરને એમીટરમાં ફેરવવા માટે તેને સમાંતરે જોડવામાં આવતા લઘુ-અવરોધને શંટ કહે છે. તેનું

$$\text{સૂત્ર } S = \frac{GI_G}{I - I_G} \text{ છે.}$$

ગેલ્વેનોમીટરને વોલ્ટમીટરમાં ફેરવવા માટે તેની સાથે શ્રેણીમાં મોટા મૂલ્યનો અવરોધ જોડવામાં આવે છે.

આ શ્રેણી-અવરોધ ( $R_s$ ) શોધવાનું સૂત્ર  $R_s = \frac{V}{I_G} - G$  છે.

### સ્વાધ્યાય

નીચે વિધાનો માટે આપેલા વિકલ્પોમાંથી યોગ્ય વિકલ્પ પસંદ કરો :

1. બે સમકેન્દ્રીય રિંગો એક જ સમતલમાં રહે તેમ ગોઠવેલ છે. બંને રિંગમાં આંટાઓની સંખ્યા 20 છે. તેમની ત્રિજ્યાઓ 40 cm અને 80 cm છે તથા તેમાંથી અનુક્રમે 0.4 A અને 0.6 A વિદ્યુતપ્રવાહ પરસ્પર વિરુદ્ધ દિશામાં વહે છે, તો કેન્દ્ર પાસે ઉદ્ભવતા ચુંબકીય ક્ષેત્રનું મૂલ્ય ..... T થશે.

(A)  $4\mu_0$  (B)  $2\mu_0$  (C)  $\frac{10}{4}\mu_0$  (D)  $\frac{5}{4}\mu_0$

2.  $m$  દળવાળો એક કણ  $q$  વિદ્યુતભાર ધરાવે છે. આ કણને  $V$  જેટલા વિદ્યુતસ્થિતિમાનના તફાવત હેઠળ પ્રવેગિત કરી સમાન ચુંબકીય ક્ષેત્ર  $B$ માં ક્ષેત્રને લંબરૂપે દાખલ કરતાં તે  $R$  ત્રિજ્યાવાળા વર્તુળાકાર માર્ગે

ગતિ કરે છે, તો આ કણના વિદ્યુતભાર અને દળનો ગુણોત્તર  $\left(\frac{q}{m}\right) = \dots\dots\dots$  છે.

$\left[\left(\frac{q}{m}\right)\right]$  ને ઘણીવાર વિશિષ્ટ વિદ્યુતભાર (Specific Charge) પણ કહે છે.]

(A)  $\frac{2V}{B^2R^2}$  (B)  $\frac{V}{2BR}$  (C)  $\frac{VB}{2R}$  (D)  $\frac{mV}{BR}$

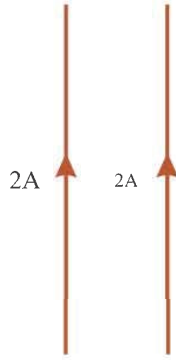
3. સમાન ચુંબકીય ક્ષેત્ર B ને લંબરૂપે પ્રોટોન, ડ્યુટેરોન આયન અને  $\alpha$ -પાર્ટિકલ સમાન ગતિ-ઊર્જા સાથે વર્તુળાકાર માર્ગ પર ગતિ કરે છે. અનુક્રમે તેમના ગતિપથની ત્રિજ્યાઓ  $r_p$ ,  $r_d$  અને  $r_\alpha$  વડે દર્શાવીએ તો [અહીં,  $q_d = q_p$ ,  $m_d = 2m_p$ ]

- (A)  $r_\alpha = r_p > r_d$  (B)  $r_\alpha = r_d > r_p$   
(C)  $r_\alpha > r_d > r_p$  (D)  $r_\alpha = r_d = r_p$

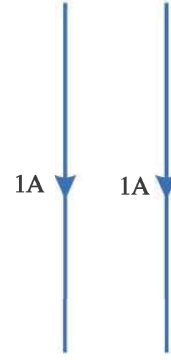
4. એક ઇલેક્ટ્રોન ચુંબકીય ક્ષેત્ર B ને લંબરૂપે  $r$  ત્રિજ્યાના વર્તુળાકાર પથ પર ગતિ કરે છે. આ ઇલેક્ટ્રોને અડધા પરિભ્રમણ દરમિયાન પ્રાપ્ત કરેલી ગતિ-ઊર્જા .....

- (A)  $\frac{1}{2}mv^2$  (B)  $\frac{1}{4}mv^2$  (C) શૂન્ય (D)  $\pi r Bev$

5. આકૃતિમાં દર્શાવ્યા પ્રમાણે બે અતિ લાંબા સુરેખ તાર એકબીજાને સમાંતરે રાખી બંનેમાંથી 2 A જેટલો વિદ્યુતપ્રવાહ પસાર કરવામાં આવે છે. આ વખતે તેમની વચ્ચે લાગતું બળ F છે. હવે તારમાં પ્રવાહ 1 A જેટલો કરવામાં અને પ્રવાહની દિશા (બંનેમાં) ઊલટાવી નાંખતાં તેમની વચ્ચે લાગતું બળ .....



(a) પ્રથમ

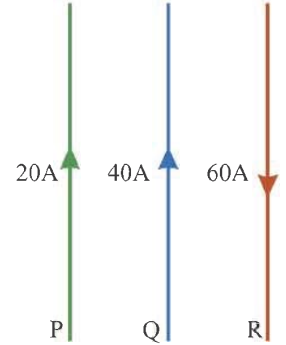


(b) પછીથી

- (A)  $\frac{F}{4}$  થશે અને આકર્ષણ પ્રકારનું હશે (B)  $\frac{F}{2}$  થશે અને અપાકર્ષણ પ્રકારનું હશે.  
(C)  $\frac{F}{2}$  થશે અને આકર્ષણ પ્રકારનું હશે (D)  $\frac{F}{4}$  થશે અને અપાકર્ષણ પ્રકારનું હશે.

6. આકૃતિમાં દર્શાવ્યા પ્રમાણે P, Q અને R અતિ લાંબા સુરેખ તારમાંથી અનુક્રમે 20A, 40A અને 60A જેટલો વિદ્યુતપ્રવાહ તીર વડે દર્શાવેલ દિશાઓમાં વહે છે. આ સ્થિતિમાં તાર Q પર લાગતા પરિણામી બળની દિશા તાર Qની .....

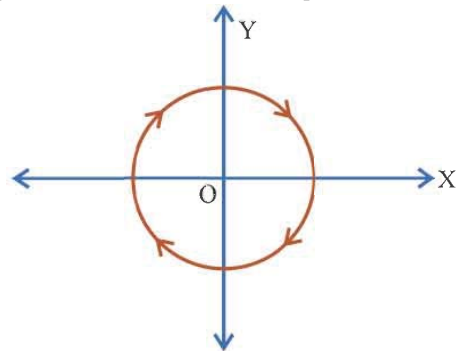
- (A) ડાબી તરફ  
(B) જમણી તરફ  
(C) પુસ્તકના પૃષ્ઠને લંબરૂપે  
(D) Qમાંથી વહેતા પ્રવાહની દિશામાં હશે.



7. આકૃતિમાં દર્શાવ્યા પ્રમાણે એક વર્તુળાકાર વાહક તારમાંથી વિદ્યુતપ્રવાહ I વહે છે તથા તેનું કેન્દ્ર O પર રહે તેમ XY-સમતલમાં રાખેલ છે.

આ વર્તુળાકાર લૂપનું વલણ

- (A) સંકોચાવાનું  
(B) પ્રસરવાનું  
(C) ધન X દિશામાં ખસવાનું  
(D) ઋણ X દિશામાં ખસવાનું હશે.



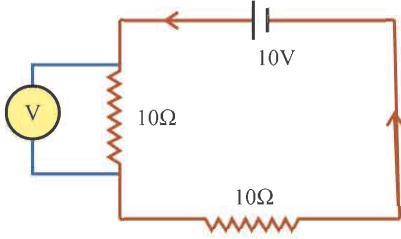
8. સમાન વિદ્યુતક્ષેત્ર અને સમાન ચુંબકીય ક્ષેત્ર અધોદિશામાં છે. એક ઇલેક્ટ્રોન અધોદિશામાં ગતિ કરે છે, આથી આ ઇલેક્ટ્રોન .....

(A) ડાબી તરફ વળે છે. (B) જમણી તરફ વળે છે.  
(C) ના વેગમાં વધારો થાય છે. (D) ના વેગમાં ઘટાડો થાય છે.

9. એકબીજાથી  $r$  જેટલા અંતરે રાખેલ બે સમાંતર પાતળા તારમાં દરેકમાં  $I$  વિદ્યુતપ્રવાહ વહે છે. આથી કોઈ એક તારની એકમલંબાઈ દીઠ બીજા તાર વડે લાગતા બળનું માન ..... છે.

(A)  $\frac{\mu_0 I^2}{r^2}$  (B)  $\frac{\mu_0 I^2}{2\pi r}$  (C)  $\frac{\mu_0 I}{2\pi r}$  (D)  $\frac{\mu_0 I}{2\pi r^2}$

10. આકૃતિમાં દર્શાવ્યા પ્રમાણે વોલ્ટમીટરને પરિપથમાં જોડેલ છે. વોલ્ટમીટરનો અવરોધ ખૂબ જ મોટો છે, તો આ વોલ્ટમીટર વડે દર્શાવાતા વોલ્ટેજ ..... હશે.



(A) 5 V (B) 10 V  
(C) 2.5 V (D) 7.5 V

11.  $B$  માન ધરાવતા સમાન ચુંબકીય ક્ષેત્રમાં ક્ષેત્રને લંબરૂપે  $q$  વિદ્યુતભાર ધરાવતો  $m$  દળવાળો કણ  $r$  ત્રિજ્યાના વર્તુળમાર્ગ પર ગતિ કરે છે, આથી આ કણને એક ભ્રમણ કરતાં લાગતો સમય ..... છે.

(A)  $\frac{2\pi mq}{B}$  (B)  $\frac{2\pi q^2 B}{m}$  (C)  $\frac{2\pi q B}{m}$  (D)  $\frac{2\pi m}{Bq}$

12. એક લાંબા તારમાંથી સ્થાયી વિદ્યુતપ્રવાહ વહે છે. તેને એક વર્તુળાકાર વાળતાં બનતા લૂપના કેન્દ્ર પર મળતું ચુંબકીય ક્ષેત્ર  $B$  છે. હવે ધારો કે આ જ તારને વર્તુળાકાર  $n$  આંટાવાળા વર્તુળાકાર લૂપમાં વાળવામાં આવે છે, તો તેના કેન્દ્ર પર મળતું ચુંબકીય ક્ષેત્ર ..... થશે.

(A)  $nB$  (B)  $n^2B$  (C)  $2nB$  (D)  $2n^2B$

13.  $1\text{m}$  લંબાઈના વાહક તારને એક વર્તુળાકાર લૂપમાં ફેરવવામાં આવે છે. જો તેમાંથી  $1$  એમ્પિયરનો વિદ્યુતપ્રવાહ વહેતો હોય, તો તેની ચુંબકીય મોમેન્ટ .....  $\text{Am}^2$  થશે.

(A)  $2\pi$  (B)  $\frac{\pi}{2}$  (C)  $\frac{\pi}{4}$  (D)  $\frac{1}{4\pi}$

14. જ્યારે વિદ્યુતભારિત કણ ચુંબકીય ક્ષેત્રમાં ગતિ કરે છે, ત્યારે તેની ગતિ-ઊર્જા .....

(A) અચળ રહે છે. (B) વધે છે. (C) ઘટે છે. (D) શૂન્ય થાય છે.

15.  $m$  દળવાળા અને  $q$  વિદ્યુતભારવાળા બે કણોને  $2r$  લંબાઈના એક સળિયાના છેડાઓ પર (દરેક છેડા પર એક) એમ ચોંટાડેલા છે. આ સળિયાને  $\omega$  જેટલી કોણીય ઝડપથી તેના કેન્દ્રને અનુલક્ષીને ભ્રમણ આપતાં ઉદ્ભવતી ચુંબકીય ડાઈપોલ-મોમેન્ટ અને આ કણોના કુલ કોણીય વેગમાનનો ગુણોત્તર ..... છે.

(A)  $\frac{q}{2m}$  (B)  $\frac{q}{m}$  (C)  $\frac{2q}{m}$  (D)  $\frac{q}{\pi m}$

16. એક અતિલાંબા સૉલેનોઈડમાં  $1\text{ cm}$  દીઠ  $100$  આંટાઓ છે. તેમાંથી  $5\text{A}$  પ્રવાહ પસાર થાય છે, તો તેની અક્ષ ઉપર કેન્દ્ર પાસે ચુંબકીય ક્ષેત્ર .....  $\text{T}$  છે.

(A)  $3.14 \times 10^{-2}$  (B)  $6.28 \times 10^{-2}$  (C)  $9.42 \times 10^{-2}$  (D)  $12.56 \times 10^{-2}$

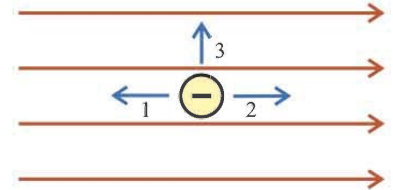
17. બે અતિ લાંબા વિદ્યુતવાહક તારોને એકબીજાને સમાંતર  $d$  અંતરે રાખી તેમાંથી પરસ્પર વિરુદ્ધ દિશામાં સમાન વિદ્યુતપ્રવાહો પસાર કરવામાં આવે છે. હવે, આ બંને તારોની વચ્ચે  $\frac{d}{2}$  અંતરે આવેલા બિંદુ પાસેથી  $q$  જેટલો વિદ્યુતભારિત કણ, બંને તારોથી રચાતા સમતલને લંબરૂપે  $v$  વેગથી પસાર થાય છે, તો આ કણ પર લાગતું ચુંબકીય બળ ..... હશે.
- (A)  $\frac{\mu_0 I q v}{2\pi d}$  (B)  $\frac{\mu_0 I q v}{\pi d}$  (C)  $\frac{2\mu_0 I q v}{\pi d}$  (D) શૂન્ય
18. L લંબાઈનો એક અતિ લાંબો સોલેનોઈડ  $n$  સ્તરો ધરાવે છે. દરેક સ્તરમાં  $N$  આંટાઓ છે. સોલેનોઈડનો વ્યાસ  $D$  છે અને તેમાંથી  $I$  જેટલો પ્રવાહ પસાર થઈ રહ્યો છે, તો સોલેનોઈડના કેન્દ્ર પર ચુંબકીય ક્ષેત્ર ..... છે.
- (A)  $D$ ને સમપ્રમાણ (B)  $D$ ને વ્યસ્ત પ્રમાણ  
(C)  $D$ થી સ્વતંત્ર (D)  $L$ ને સમપ્રમાણ
19. સાઈકલોટ્રોનમાં વિદ્યુતભારિત કણની કોણીય ઝડપ .....થી સ્વતંત્ર છે.
- (A) કણનું દળ (B) કણની રેખીય ઝડપ  
(C) કણનો વિદ્યુતભાર (D) ચુંબકીય ક્ષેત્ર
20. ગતિમાન વિદ્યુતભાર .....ના કારણે ઊર્જા મેળવે છે.
- (A) વિદ્યુતક્ષેત્ર (B) ચુંબકીય ક્ષેત્ર  
(C) આ બંને ક્ષેત્રો (D) ઉપરનામાંથી કોઈ પણ ક્ષેત્ર નહિ.
21. એક વિદ્યુતભારિત કણ  $\vec{B}$  જેટલા ચુંબકીય ક્ષેત્રમાંથી  $\vec{v}$  વેગથી પસાર થઈ રહ્યો છે. તેના પર લાગતું ચુંબકીય બળ ..... સ્થિતિમાં મહત્તમ હશે.
- (A)  $\vec{v}$  અને  $\vec{B}$  સમાન દિશામાં હોય તે (B)  $\vec{v}$  અને  $\vec{B}$  વિરુદ્ધ દિશામાં હોય તે  
(C)  $\vec{v}$  અને  $\vec{B}$  પરસ્પર લંબ હોય તે (D)  $\vec{v}$  અને  $\vec{B}$  એકબીજા સાથે  $45^\circ$ નો કોણ બનાવે તે
22. બે અતિ લાંબા સમાંતર તારોમાંથી પરસ્પર વિરુદ્ધ દિશામાં સમાન વિદ્યુતપ્રવાહો પસાર થઈ રહ્યા છે, તો ..... .
- (A) તેઓ એકબીજાને અપાકર્ષે છે (B) તેઓ એકબીજાને આકર્ષે છે  
(C) તેઓ એકબીજા તરફ નમી જાય છે (D) આકર્ષણ કે અપાકર્ષણ કંઈ જ ઉદ્ભવતું નથી
23. એક વિદ્યુતભારિત કણ નિયમિત ચુંબકીય ક્ષેત્રમાં ગતિ કરે છે, તો ..... .
- (A) તેનું વેગમાન બદલાય છે, પણ ગતિ-ઊર્જામાં ફેરફાર થતો નથી.  
(B) વેગમાન અને ગતિ-ઊર્જા બંનેમાં ફેરફાર થાય છે.  
(C) વેગમાન અને ગતિ-ઊર્જા કોઈમાં ફેરફાર થતો નથી.  
(D) ગતિ-ઊર્જા બદલાય છે, પણ વેગમાન બદલાતું નથી.
24. ચુંબકીય ક્ષેત્રમાં ગતિ કરતા વિદ્યુતભારિત કણની ઝડપ વધારવામાં આવે છે, તો તેના ગતિપથની ત્રિજ્યા ..... .
- (A) ઘટશે (B) વધશે (C) બદલાશે નહિ (D) અડધી થશે

ઉત્તરો

1. (C) 2. (A) 3. (A) 4. (C) 5. (A) 6. (A)  
7. (B) 8. (D) 9. (B) 10. (A) 11. (D) 12. (B)  
13. (D) 14. (A) 15. (A) 16. (B) 17. (D) 18. (C)  
19. (B) 20. (A) 21. (C) 22. (A) 23. (A) 24. (B)

### નીચે આપેલ પ્રશ્નોના જવાબ ટૂંકમાં આપો :

1. ઓર્સ્ટેડનું અવલોકન જણાવો.
2. બાયો-સાવરના નિયમનું વિધાન લખો.
3. એમ્પિયરનો સર્કિટલ નિયમ સૂત્ર સ્વરૂપે લખો.
4. પ્રવાહધારિત સુરેખ તારથી ઉદ્ભવતા ચુંબકીય ક્ષેત્રની દિશા જાણવા માટેનો નિયમ જણાવો.
5. સૉલેનોઇડની બહારના વિસ્તારમાં ચુંબકીય ક્ષેત્રનું મૂલ્ય કેટલું હોય છે ?
6. ટોરોઇડમાં ચુંબકીય ક્ષેત્રની દિશા જણાવો.
7. ઓર્સ્ટેડે કરેલા અવલોકન બાદ એમ્પિયરે કરેલું અવલોકન જણાવો.
8. સાઇક્લોટ્રોનમાં કોણીય આવૃત્તિ શું વેગમાન પર આધારિત છે ? 'હા' કે 'ના'માં જવાબ આપો.
9. સાઇક્લોટ્રોન દ્વારા ન્યુટ્રોનને પ્રવેગિત કરી શકાય ? કેમ ?
10. સાઇક્લોટ્રોનમાં વિદ્યુતક્ષેત્ર અને ચુંબકીય ક્ષેત્રનાં કાર્ય જણાવો.
11. સાઇક્લોટ્રોનની બે મર્યાદાઓ જણાવો.
12. આદર્શ એમીટર અને આદર્શ વોલ્ટમીટરના અવરોધ નાં મૂલ્ય કેવાં હોવા જોઈએ ?
13. ગેલ્વેનોમીટરની પ્રવાહ-સંવેદિતા એટલે શું ?
14. વોલ્ટમીટરની વોલ્ટેજક્ષમતા વધારવા શું કરવામાં આવે છે ?
15. વર્તુળાકાર રિંગમાં પ્રવાહનું મૂલ્ય તેમજ તેની ત્રિજ્યા બમણી કરવામાં આવે, તો તેના કેન્દ્ર પરના ચુંબકીય ક્ષેત્રમાં શું ફેરફાર થશે ?
16. આકૃતિમાં દર્શાવેલ ઇલેક્ટ્રોનની ગતિ માટેના ત્રણ કિસ્સાઓમાં તેના પર લાગતા ચુંબકીય બળનું મૂલ્ય જણાવો.



### નીચેના પ્રશ્નોના જવાબ આપો :

1. બાયો-સાવરનો નિયમ લખો અને તેની સમજૂતી આપો.
2. વિદ્યુતપ્રવાહધારિત વર્તુળાકાર વાહકની અક્ષ પરના કોઈ બિંદુએ મળતા ચુંબકીય ક્ષેત્રની તીવ્રતાનું સૂત્ર લખો અને આ ચુંબકીય ક્ષેત્રની દિશા શોધવા માટેનો જમણા હાથના અંગૂઠાનો નિયમ યોગ્ય આકૃતિ દોરી સમજાવો.
3. એમ્પિયરનો સર્કિટલનો નિયમ લખો અને સમજાવો.
4. અતિ લાંબા સુરેખ તારમાંથી I જેટલો વિદ્યુતપ્રવાહ વહેતો હોય તો એમ્પિયરના સર્કિટલના નિયમ પરથી તારથી r જેટલા લંબઅંતરે આવેલ બિંદુએ ચુંબકીય ક્ષેત્રનું મૂલ્ય મેળવો.
5. ટોરોઇડમાં ઉદ્ભવતા ચુંબકીય ક્ષેત્રનું મૂલ્ય એમ્પિયરના સર્કિટલના નિયમનો ઉપયોગ કરી મેળવો.
6. બે એકબીજાને સમાંતરે રાખેલ તારમાંથી એક જ દિશામાં પ્રવાહ પસાર કરતાં તેમની વચ્ચે ઉદ્ભવતા આકર્ષણબળનું સૂત્ર મેળવો.
7. સમાન વિદ્યુતક્ષેત્ર અને સમાન ચુંબકીયક્ષેત્રમાં ગતિ કરતા વિદ્યુતભાર પર લાગતા લોરેન્ઝ બળનું સૂત્ર મેળવો.
8. સાઇક્લોટ્રોનની કાર્યપદ્ધતિ સમજાવી સાઇક્લોટ્રોન આવૃત્તિ  $\omega_c$ નું સૂત્ર મેળવો.
9. યોગ્ય આકૃતિ દોરી ગેલ્વેનોમીટરની રચના સમજાવો.
10. ગેલ્વેનોમીટરને એમીટરમાં ફેરવવા શું કરવું જોઈએ તથા શંટનું સૂત્ર મેળવો.
11. વિદ્યુતપ્રવાહધારિત વર્તુળાકાર વાહકની ભૌમિતિક અક્ષ પરના કોઈ પણ બિંદુ પાસે ચુંબકીય ક્ષેત્રનું સૂત્ર બાયો-સાવરના નિયમનો ઉપયોગ કરીને તારવો.
12. એમ્પિયરના સર્કિટલના નિયમનો ઉપયોગ કરી વિદ્યુતપ્રવાહધારિત અતિ લાંબા સૉલેનોઇડની અંદરના ભાગમાં ઉદ્ભવતા ચુંબકીય ક્ષેત્ર માટેનું સૂત્ર મેળવો.
13. સમાન ચુંબકીય ક્ષેત્રમાં લટકાવેલ વિદ્યુતપ્રવાહધારિત લંબચોરસ ગૂંચળા પર લાગતા ટોર્કનું સૂત્ર મેળવો.

### નીચેના દાખલા ગણો :

1. અતિ લાંબા બે સમાંતર તારો વચ્ચેનું લંબઅંતર 0.2 m છે. પ્રથમ તારમાંથી 4 A અને બીજા તારમાંથી 6A વિદ્યુતપ્રવાહ એક જ દિશામાં વહે છે. આ બંને તારોને લંબરૂપે જોડતી રેખા પર કયા બિંદુએ ચુંબકીય ક્ષેત્રની તીવ્રતા શૂન્ય થશે ? [જવાબ : 4A પ્રવાહ ધરાવતા તારથી 80 mm દૂર બંને તારની વચ્ચે]



2. એક અતિ લાંબા તારને પૃથ્વીના ચુંબકીય ક્ષેત્રની કૈતિજ તીવ્રતાને લંબરૂપે ઊર્ધ્વ ગોઠવ્યો છે. આ તારમાંથી કેટલો વિદ્યુતપ્રવાહ પસાર કરીએ કે જેથી તારથી 10 cm લંબઅંતરે આવેલા એક બિંદુએ ચુંબકીય પ્રેરણ શૂન્ય થાય. આ બિંદુની સામેની બાજુએ તારથી 10 cm અંતરે પરિણામી ચુંબકીય પ્રેરણ કેટલું હશે ? પૃથ્વીનું ચુંબકીય પ્રેરણ =  $0.36 \times 10^{-4} \text{ T}$  તથા  $\mu_0 = 4\pi \times 10^{-7} \text{ T m/A}$ .

[જવાબ : 18 A,  $0.72 \times 10^{-4} \text{ T}$ ]

3. શંટ જોડેલા એક ગેલ્વેનોમીટરને વિદ્યુતપરિપથમાં જોડતાં કુલ વિદ્યુતપ્રવાહનો 2% વિદ્યુતપ્રવાહ ગેલ્વેનોમીટરમાંથી પસાર થતો હોય તથા ગેલ્વેનોમીટરનો અવરોધ G હોય, તો શંટનું મૂલ્ય શોધો.

[જવાબ :  $\frac{G}{49}$ ]

4.  $M_1$  અને  $M_2$  દળવાળા સમાન વિદ્યુતભાર ધરાવતા બે કણો સમાન વીજસ્થિતિમાનના તફાવત વડે પ્રવેગિત થયા બાદ સમાન ચુંબકીય ક્ષેત્રને લંબરૂપે ગતિ કરે છે. તેમના વર્તુળમયગતિપથની ત્રિજ્યાઓ અનુક્રમે  $R_1$

અને  $R_2$  હોય, તો તેમનાં દળોનો ગુણોત્તર શોધો.

[જવાબ :  $\frac{M_1}{M_2} = \left(\frac{R_1}{R_2}\right)^2$ ]

5. L m લંબાઈના તારમાંથી N આંટાવાળું વર્તુળાકાર ગૂંચળું બનાવવામાં આવ્યું છે. જો ગૂંચળામાંથી I A જેટલો વિદ્યુતપ્રવાહ પસાર કરવામાં આવતો હોય અને તેને B T જેટલા સમાન ચુંબકીય ક્ષેત્રમાં લટકાવેલ હોય, તો ગૂંચળા પર લાગતું મહત્તમ ટોર્ક શોધો.

[જવાબ :  $\frac{\pi L^2 B}{4\pi N} \text{ N m}$ ]

6. સમાન ગતિ-ઊર્જા ધરાવતું એક પ્રોટોન અને એક ડ્યુટેરોન આયન, એકસાથે સમાન ચુંબકીય ક્ષેત્રે લંબરૂપે ચુંબકીય ક્ષેત્રમાં દાખલ થાય છે. જો ડ્યુટેરોનનું દળ, પ્રોટોનના દળ કરતાં બમણું હોય, તો તેમના વર્તુળમય ગતિપથની ત્રિજ્યાઓનો ગુણોત્તર શોધો.

[જવાબ :  $\frac{r_d}{r_p} = \sqrt{2}$ ]

7. 120 આંટાવાળું અને  $10 \times 10^{-4} \text{ m}^2$  ક્ષેત્રફળ વાળું એક લંબચોરસ ગૂંચળું  $45 \times 10^{-4} \text{ T}$  ના ત્રિજ્યાવાર્તી ચુંબકીય ક્ષેત્રમાં કિલકિત કરેલું છે. જો ગૂંચળામાંથી 0.2 mA પ્રવાહને લીધે ગૂંચળાનું કોણાવર્તન  $36^\circ$  થતું હોય, તો ગૂંચળા સાથે જોડેલી સ્પ્રિંગોનો અસરકારક વળ-અચળાંક શોધો.

[જવાબ :  $17.2 \times 10^{-8} \text{ N m/rad}$ ]

8. X અને Y વલયોની ભૌમિતિક અક્ષ અનુક્રમે X અને Y અક્ષો પર સંપાત થાય તે રીતે ગોઠવેલ છે. વલય X અને Yની સમાન ત્રિજ્યાનું મૂલ્ય 3.14 cm છે. જો X અને Y વલયોમાંથી વહેતા વીજપ્રવાહો અનુક્રમે 0.6 A અને 0.8 A હોય, તો ઊગમબિંદુ પર સમાસ ચુંબકીય ક્ષેત્રનું મૂલ્ય શોધો.

$\mu_0 = 4\pi \times 10^{-7} \text{ SI એકમ}$ .

[જવાબ :  $2 \times 10^{-5} \text{ T}$ ]

9. 20 A અને 30 A વિદ્યુતપ્રવાહનું વહન કરતા બે અતિ લાંબા સુરેખ સમાંતર તારો વચ્ચેનું અંતર 3 m છે. જો વિદ્યુતપ્રવાહો એક જ દિશામાં વહેતા હોય, તો તેમની એકમલંબાઈ દીઠ તેમના પર લાગતું આકર્ષણબળ શોધો.  $\mu_0 = 4\pi \times 10^{-7} \text{ SI એકમ}$ .

[જવાબ :  $4 \times 10^{-5} \text{ N m}^{-1}$ ]

10. એક અતિ લાંબા સુરેખ તારમાંથી 5 Aનો વિદ્યુતપ્રવાહ વહે છે. એક ઇલેક્ટ્રોન આ તારને સમાંતર રહી 10 cm દૂર  $10^6 \text{ m s}^{-1}$  ના વેગથી વિદ્યુતપ્રવાહની દિશાથી વિરુદ્ધ દિશામાં ગતિ કરતો હોય તો ઇલેક્ટ્રોન પર લાગતા બળનું મૂલ્ય શોધો. (અત્રે ઇલેક્ટ્રોનનું દળ અચળ સ્વીકારેલ છે.)

$e = -1.6 \times 10^{-19} \text{ C}$ ,  $\mu_0 = 4\pi \times 10^{-7} \text{ SI}$ .

[જવાબ :  $16 \times 10^{-19} \text{ N}$ ]

11. આકૃતિમાં દર્શાવેલ તારમાંથી 6Aનો વિદ્યુતપ્રવાહ પસાર થાય છે. C બિંદુએ ચુંબકીય ક્ષેત્રનું માન નક્કી કરો. ત્રિજ્યા 0.02 m છે.

$\mu_0 = 4\pi \times 10^{-7} \text{ T m A}^{-1}$ .

[જવાબ :  $1.41 \times 10^{-4} \text{ T}$ ]

